



تحليل معايرة التبخر نتح الكامن اليومي الكامن بواسطة

قياسات حوض التبخر نوع "أ" بمناطق المملكة العربية السعودية

فهدة فلاح بن حشر

المستخلاص

تناولت هذه الدراسة معايرة تقديرات نماذج تورنثوايت Thornthwaite و بلاني- كريدل Blaney-Criddle و ماكينك Makkink و جنسن-هais Jensen-Haise وإيفانوف Ivanov و تورك Turc بواسطة قياس التبخر- نتح الكامن لحوض التبخر نوع "أ" بست محطات مناخية هي محطة تبوك بشمال غربي المملكة ومحطتا مطار الملك خالد بالرياض و حائل والقيصومة بوسطها ومحطة خميس مشيط بجنوب غربها ومحطة الظهران بالساحل الشرقي وجدة بالساحل الغربي.

ولقد أوضحت نتائج هذا البحث وجود تباينات مكانية لكميات حوض التبخر نوع "أ" بين المحطات المدروسة وبين المحطات على مستوى تقديرات النماذج المطبقة من جهة وبين تقديرات النماذج على مستوى المحطة الواحدة خلال مختلف فصول السنة. وللمقارنة بين أداء النماذج المذكورة تم تطبيق معاير إحصائية هي معدل الخطأ المطلق (MAE) وجذر معدل مربع الخطأ (RMSE) والنسبة المئوية للخطأ (PE) ومعامل المصداقية (RC). ولقد تبين أن نموذج بلاني-كريدل هو أفضل النماذج بمحطتي مطار الملك خالد بالرياض وتبوك وأن نموذج ماكينك هو أفضل نموذج بمحطة خميس مشيط وأن نموذج إيفانوف هو أفضل النماذج بمحطتي القيصومة والظهران ونموذج تورك هو أفضل النماذج بمحطة جدة لتقدير المتوسط الشهري للتبخر- نتح وأن نموذج إيفانوف وتورك هما أفضل النماذج بمحطة حائل.

الكلمات المفتاحية :

التبخر- نتح الكامن، حوض التبخر نوع "أ"، نموذج تورنثوايت، نموذج بلاني-كريدل، ماكينك، نموذج جنسن-هais، تورك، نموذج إيفانوف، المملكة العربية السعودية.

١- المقدمة

تعتبر عملية فقد الماء عملية التبخر - نتح من أكثر العمليات التي تهتم بها الدراسات المناخية والزراعية والهيدرولوجية لما لها من تأثير على الميزانية المائية للترابة وعلى الموارد المائية السطحية. ولقد نالت ظاهرة التبخر محل اهتمام الباحثين في المجال الزراعي والبيئي قبل حوالي قرنين بأوروبا وأمريكا نظراً لتأثيراتها على نمو النباتات الزراعية. وقد تطور بعد ذلك هذا الاهتمام ليشمل عناصر المناخ الأخرى من إشعاع شمسي ورطوبة جوية وأمطار وحرارة ورياح.

ويرجع الفضل في استخدام مصطلح التبخر- نتح Evapotranspiration إلى العالم تورنثوايت Thornthwaite في عام ١٩٤٨ لتوضيح مدى احتياجات النباتات للماء. ومنذ ذلك الحين نال هذا المصطلح شيئاً كبيراً في الدراسات المناخية والزراعية والهيدرولوجية وحتى البيئية في وقتنا الحاضر لأنّه يعتبر مؤشراً دقيقاً يمثل الفاقد المائي بواسطة عملية التبخر Evapotranspiration من التربة والفاقد المائي بواسطة عملية النتح Transpiration وهي كمية المياه التي تستهلكها النباتات لبناء أنسجتها خلال مختلف مراحل نموها. وفي هذا الصدد توصل تورنثوايت إلى تحديد نوعين من التبخر نتح هما ، التبخر نتح الكامن Potential Evapotranspiration وهو الحد الأعلى المحتمل لفقدان الماء والرطوبة من سطح الأرض والتربة تحت تأثير الحرارة والإشعاع الشمسي والذي يمكن أن يحدث في ظروف طبيعية وجوية عادية حتى لو لم تتوفر الرطوبة والماء. أما عند توفر هذين العنصرين فإن التبخر نتح الكامن يصبح مساوياً للتبخر الفعلي أو الحقيقي Actual Evapotranspiration.

ويتم قياس التبخر الفعلي بطريقة القياس المباشر للتبخر الذي يستخدم نوعين من القياسات، قياس التبخر بواسطة أحواض التبخر وهي تتبع وأشهرها حوض التبخر نوع "A" Class "A" Pan وحوض التبخر BPI Pan (Bureau Plant Industry) و خزان Tank (20 m^3). بالإضافة إلى هذه الطرق هناك أيضاً قياس التبخر مباشرة بواسطة جهاز الليزيمتر Lysimeter وهي من أكثر الطرق دقة في القياس المباشر للتبخر الفعلي من التربة. وهناك العديد من أنواع جهاز الليزيمتر أهمها الليزيمتر الوزني Weighted Lysimeter والليزيمتر الهيدروليكي Hydraulic Lysimeter والليزيمتر الحجمي Volumetric Lysimeter.

ونظراً لتعذر إجراء قياسات مباشرة للتبخر الفعلي بالكثير من مناطق العالم لأسباب مختلفة، فإنه تم استخلاص الكثير من النماذج الرياضية التجريبية بالإضافة إلى صور الأقمار الصناعية لتقدير التبخر نتح الكامن بالاعتماد على عناصر الطقس اليومية، وأشهرها :

- ١- نماذج تقدير التبخر- نتح الكامن بواسطة درجة الحرارة وأكثرها استخداماً نماذج (تورنثوايت، ١٩٤٨) و (بلاني - كريدل، Blaney - Criddle ١٩٥٠) و نموذج (هولدرidding، Holdridge ١٩٥٩).
- ٢- نماذج تقدير التبخر- نتح الكامن بواسطة الإشعاع الشمسي ودرجة الحرارة وأكثرها استخداماً نماذج (ماكينك، Makkink ١٩٥٧) و (جنسن - هايس، Jensen - Haise ١٩٧٣) و (هارقريفز وسامني Hargrevaves - Samni ١٩٨٢) و (فارسيا و لوبز، Garcia - Lopez ١٩٧٠).

٣- نماذج تقدير التبخر- نتح الكامن اعتماداً على الاشعاع الشمسي والرطوبة النسبية وأكثرها استخداماً نماذج (إيفانوف، ١٩٥٤). (Ivanov ١٩٥٤).

٤- نماذج تقدير التبخر- نتح الكامن بواسطة الاشعاع الشمسي وعناصر الطقس وأكثرها استخداماً نموذجي (بنمان، ١٩٤٨) (Penman ١٩٤٨) و (تورك، ١٩٦١) (Turc ١٩٦١).

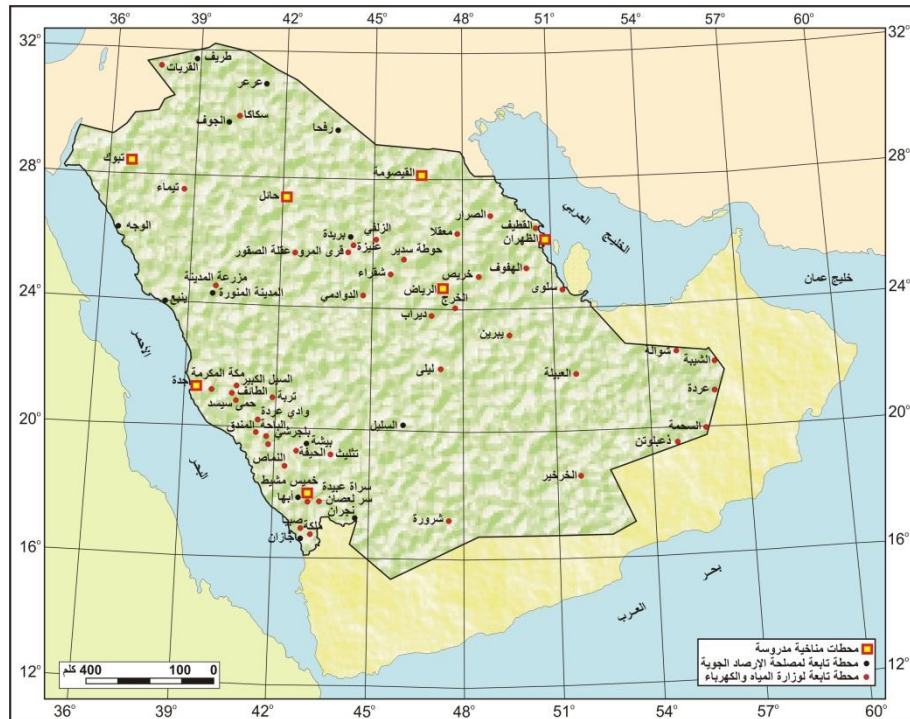
٢- منطقة الدراسة والبيانات المناخية

تتناول هذه الدراسة تقدير التبخر- نتح الكامن بأربع محطات مناخية هي تبوك شمالاً و خميس مشيط بالجنوب الغربي والرياض وحائل بوسط المملكة العربية السعودية (الشكل ١ والجدول ١).

الجدول ١ : إحداثيات موقع المحطات المناخية المدروسة

الارتفاع عن سطح البحر (متر)	الإحداثيات		اسم المحطة	كود المحطة
	خط الطول E	دائرة العرض N		
٦١٣.٩	٤٦٠٤٣١٩"	٢٤٠٥٥١٣١"	مطار الملك خالد (الرياض)	٤٠٤٣٧
١٠٠١.٥	٤١٠٤١١٢٨"	٢٧٠٢٦١٠٤"	مطار حائل الأفليمي	٤٠٣٩٤
٢٠٥٥.٩	٤٢٠٤٨١٢٣"	١٨٠١٧٥٨"	خميس مشيط	٤١١١٢
٧٦٨.١	٣٦٠٣٦١٢٥"	٢٨٠٢٢١٣٥"	تبوك	٤٠٣٧٥
٣٥٧.٩	٤٦٠٧٤٩"	٢٨٠١٩٠٨"	الفيصومة	٤٠٣٧٣
١٦.٨	٥٠٠٩١٣٩"	٢٦٠١٥١٣٤"	الظهران	٤٠٤١٦
١٦.٩	٣٩٠١١١١٢"	٢١٠٤٢١٣٧"	جدة	٤١٠٢٤

تحليل معايرة التبخر نتح الكامن اليومي الكامن بواسطة قياسات حوض التبخر نوع (أ) بمناطق المملكة العربية السعودية



الشكل ١ : موقع مطحاطات الارصاد الجوية الواردة في الدراسة

**الجدول ٢ : المتوسطات الشهرية للبيانات المناخية المستخدمة في تقيير التبخر- نتح الكامن
بالمطحاطات المدروسة خلال الفترة ١٩٨٥-٢٠١٥**

عنصر المناخ													اسم المحطة
ديسمبر	نوفمبر	أكتوبر	سبتمبر	أغسطس	يوليو	يونيو	مايو	أبريل	مارس	فبراير	يناير	ـ	
١٥.٢	٢٠.١	٢٢.٥	٣٢.٥	٣٥.٨	٣٥.٩	٣٤.٧	٣٢.١	٢٩.٦	٢٠.٦	١٦.٤	١٣.٦	T (°C)	مطار الملك خالد (الرياض)
٤٨.٥	٤٢.٧	٢١.٦	١٤.٧	١٢.٨	١٠.٧	١٠.٧	١٨.١	٢٩.٦	٣٣.٠	٣٧.٣	٤٨.٠	Rh (%)	
٢٣.٠	٢٣.٣	٢٦.٥	٢٩.٩	٣٤.٤	٣٧.٩	٣٨.٧	٣٦.٨	٣٢.٨	٢٨.٥	٢٥.٥	٢٣.٠	Rs (MJ/m ² /day)	
٩٤٩.١	٩٤٧.٣	٩٤٤.٦	٩٣٩.٨	٩٣٥.٣	٩٣٤.١	٩٣٦.٥	٩٤٠.٣	٩٤٢.٨	٩٤٤.٨	٩٤٦.٨	٩٤٨.٨	P (mb)	
٦٠.٥	٨٠.٩	١٢٩.٨	١٦٦.٠	٢٠٦.٣	٢١٨.٢	٢١٢.٧	١٦٩.٧	١٤٢.١	١١٨.٣	٧٧.٤	٦١.٦	ETP Pan (mm)	
١٥.١	١٧.١	٢٠.١	٢٣.٥	٢٤.١	٢٤.٤	٢٤.٧	٢٢.٨	٢٠.٢	١٨.١	١٦.٦	١٤.٧	T (°C)	
٦٤.٤	٥٨.٢	٤٠.٧	٣٨.٢	٤٩.٩	٤٥.٦	٣٩.٩	٤٨.٢	٥٤.٥	٥٧.٤	٥٩.٦	٦٥.٢	Rh (%)	مطار حائل الاقليمي
٢١.٦	٢٢.٦	٢٦.٠	٢٩.٧	٣٤.٣	٣٨.٠	٣٨.٨	٣٦.٨	٣٢.٧	٢٨.٢	٢٥.٠	٢١.٧	Rs (MJ/m ² /day)	
٩٧.٨	١١٨.٤	٢٠٣.٢	٢٧٣.٨	٣٢٠.٣	٣٤٧.٩	٣٤٧.٦	٢٩٩.٨	٢٣٠.٨	١٧٣.٠	١١٦.٥	٩٢.١	P (mb)	
١٥.١	١٧.١	٢٠.١	٢٢.٥	٢٤.١	٢٤.٤	٢٤.٧	٢٢.٨	٢٠.٢	١٨.١	١٦.٦	١٤.٧	ETP Pan (mm)	
١٢.٦	١٧.١	٢٥.١	٣٠.٨	٣٣.٩	٣٣.٤	٣٢.١	٢٨.٢	٢٢.٩	١٧.٥	١٤.١	١١.٦	T (°C)	
٥١.٨	٤٧.١	٢٦.١	١٧.٩	١٦.٣	١٥.٤	١٥.٣	٢٢.٥	٣٠.١	٣٦.٢	٤٠.٧	٥١.٩	Rh (%)	
٢٥.٧	٢٦.١	٢٨.١	٣٠.٤	٣٣.٤	٣٦.٠	٣٦.٧	٣٥.٢	٣٢.٢	٢٩.٤	٢٧.٣	٢٥.٦	Rs (MJ/m ² /day)	
١٠٢.٢	١١٥.٠	١٥٢.٤	١٨٠.١	١٦٦.٧	١٧٧.١	٢٠٢.٦	١٥٩.٥	١٤٥.١	١٣٢.٦	١١٠.٢	١٠١.٢	P (mb)	خميس مشيط
١٢.٦	١٧.١	٢٥.١	٣٠.٨	٣٣.٩	٣٣.٤	٣٢.١	٢٨.٢	٢٢.٩	١٧.٥	١٤.١	١١.٦	ETP Pan (mm)	
١٢.٤	١٧.٥	٢٤.٢	٢٩.٠	٣١.٧	٣١.٦	٣٠.٠	٢٦.٨	٢٢.٦	١٧.٣	١٤.٩	١١.١	T (°C)	
٤٩.٤	٤٢.٨	٣٢.٩	٢٦.٨	٢٣.٧	٢١.٩	٢١.٣	٢٢.١	٢٦.٦	٣٤.١	٣٦.٣	٤٩.٩	Rh (%)	
٢١.٣	٢٢.٣	٢٥.٩	٢٩.٦	٣٤.٣	٣٨.٠	٣٨.٨	٣٦.٨	٣٢.٦	٢٨.١	٢٤.٨	٢١.٤	Rs (MJ/m ² /day)	
٩٣٠.٠	٩٢٨.٩	٩٢٧.٣	٩٢٤.٥	٩٢١.٧	٩٢١.١	٩٢٢.٩	٩٢٤.٧	٩٢٥.٠	٩٢٦.٧	٩٢٦.٣	٩٢٩.٦	P (mb)	
٧٩.٣	١٠٩.٠	١٦٩.٧	٢٢٥.٥	٢٧١.٥	٣٠٤.٩	٢٨٣.٠	٢٣٦.٨	٢١٤.٢	١٦١.٦	١٠٨.٠	٩١.٢	ETP Pan (mm)	

تابع الجدول ٢ : المتوسطات الشهرية للبيانات المناخية المستخدمة في تقدير التبخر- نتح الكامن بالمحطات المدروسة خلال الفترة ١٩٨٥-٢٠١٥

اسم المحطة	جدة	الظهران	الفيصومة
عنصر المناخ			
بنابريل	٢٣.٤	٦٠.٢	١٠١٠.٩
فبراير	٢٥.٢	٢٥.٢	١٠١٠.٠
مارس	٢٤.٢	٢٤.٢	P (mb)
مايو	٣٠.٠	٣٠.٧	١٠١٠.٣
يونيو	٣١.٢	٣١.٢	١٠١٣.٥
يوليو	٣٢.٧	٣٢.٧	١٠١٣.٥
أغسطس	٣٢.٧	٣٢.٧	١٠١٣.٥
سبتمبر	٣١.٤	٣١.٤	١٠١٣.٥
اكتوبر	٢٩.٧	٢٦.٢	١٠١٣.٥
نوفمبر	٢٧.٣	٢٦.١	١٠١٣.٥
ديسمبر	٢٤.٧	٢٤.١	١٠١٣.٥

وتعتمد هذه الدراسة على قياسات حوض التبخر نوع "أ" و البيانات اليومية للحرارة $T(^{\circ}\text{C})$ و الرطوبة النسبية $Rh(\%)$ والأشاعر الشمسي $Rs(\text{MJ/m}^2/\text{day})$ و الضغط الجوي عند المحطة $P(\text{mb})$ خلال الفترة من يناير ١٩٨٥ إلى ديسمبر ٢٠١٥ م التي تم استخدامها في حساب متوسطات العناصر المناخية المستخدمة في نماذج تقدير التبخر نتح التي تم تطبيقها (الجدول ٢).

٣- مشكلة البحث وأهميته

يطرح غياب قياس التبخر بمحطات الارصاد الجوي بالمملكة العربية السعودية مشكلة للباحثين وللمستخدمين للبيانات المناخية. كما أن الباحثين في مجال المناخ والمهتمين بالدراسات المناخية كثيراً ما يقومون بتقديرات لعنصر التبخر نتح دون فحصها إحصائياً مما يجعل من الاستفادة منها يتضمن جانباً من عدم الثقة في اختيار أفضل نموذج لاعتماده في التطبيقات المناخية المطلوبة. ولذا فإن لأهمية هذا البحث تكمن في كونه يقم منهجه علمية لتقدير التبخر نتح الكامن بسبع محطات للارصاد الجوي بتطبيق ستة نماذج ومعاييرتها بقياسات حوض التبخر نوع "أ" ثم فحص حسن مطابقة للنتائج وللمقارنة بين أداء النماذج المذكورة بتطبيق أربعة معايير إحصائية هي معدل الخطأ المطلق (MAE) وجذر معدل مربع الخطأ (RMSE) والنسبة المئوية للخطأ (PE) ومعامل المصداقية (RC).

٤- منهجة البحث

تعتمد هذه الدراسة على تقدير المتوسط الشهري للتبخر- نتح الكامن بتطبيق النماذج التالية:

تحليل معايرة التبخر نتح الكامن اليومي الكامن بواسطة قياسات حوض التبخر نوع (١) بمناطق المملكة العربية السعودية
فهدة فلاح بن حشر

٤-١- نماذج تقدير التبخر- نتح باستخدام درجة الحرارة

٤-١-١- نموذج (تورنثوايت، ١٩٤٨) (Thorntwaite)

يتم حساب التبخر- نتح الكامن بنموذج تورنثوايت بتطبيق سلسلة من المعادلات باتباع الخطوات المنهجية التالية :

١- حساب المؤشر الحراري الشهري : Monthly Thermal Index و فيه T_j المتوسط الشهري لدرجة الحرارة (C°).

٢- حساب الثابت a : Constant

$$a = 6.75 \cdot 10^{-7} i_j^3 + 7.71 \cdot 10^{-5} i_j^2 + 1.79 \cdot 10^{-2} i_j + 4.92$$

و فيه i_j المؤشر الحراري الشهري.

٣- حساب المعامل المخفض Reduction Factor

$$b = y_0 + (X - X_0) \frac{(y_1 - y_0)}{(X_1 - X_0)}$$

و فيه :

X : درجة عرض موقع المكان.

X_0, X_1 : درجتا العرض العشرية لدائرة الشمالية والجنوبية لموقع المحطة.

Y_0, Y_1 : قيمة المعامل الشهري المخفض المناسب لدائرة العرض الشمالية والجنوبية لموقع المحطة وهي تستخرج من جدول خاص (الجدول ٣).

٤- حساب المتوسط الشهري للتبخر- نتح الكامن :

$$ETP (\text{cm}) = 1.6 b \left[\frac{10 T_j}{i_j} \right]^{0.5114}$$

الجدول ٣ : قيم المعامل الشهري المخفض لدوائر العرض الشمالية

المعامل X							الشهر
٥٠°N	٤٠°N	٣٠°N	٢٠°N	١٠°N	٠°N		
١.٠٤	٠.٨٤	٠.٩٠	٠.٩٥	١.٠٠	١.٠٤		يناير
٠.٩٤	٠.٨٣	٠.٨٧	٠.٩٠	٠.٩١	٠.٩٤		فبراير
١.٠٤	١.٠٣	١.٠٣	١.٠٣	١.٠٣	١.٠٤		مارس
١.٠١	١.١١	١.٠٨	١.٠٥	١.٠٣	١.٠١		أبريل
١.٠٤	١.٢٤	١.١٨	١.١٣	١.٠٨	١.٠٤		مايو
١.٠١	١.٢٥	١.١٧	١.١١	١.٠٦	١.٠١		يونيو
١.٤٠	١.٢٧	١.٢٠	١.١٤	١.٠٨	١.٤٠		يوليو
١.٠٤	١.١٨	١.١٤	١.١١	١.٠٧	١.٠٤		أغسطس
١.٠١	١.٠٤	١.٠٣	١.٠٢	١.٠٢	١.٠١		سبتمبر
١.٠٤	٠.٩٦	٠.٩٨	١.٠٠	١.٠٢	١.٠٤		أكتوبر
١.٠١	٠.٨٣	٠.٨٩	٠.٩٣	٠.٩٨	١.٠١		نوفمبر
١.٠٤	٠.٨١	٠.٨٨	٠.٩٤	٠.٩٩	١.٠٤		ديسمبر

٤-١-٢- نموذج (بلاني - كريدل، ١٩٥٠) (Blaney - Criddle ١٩٥٠)

يتم حساب التبخر- نتح الكامن بنموذج بلاني - كريدل بتطبيق المعادلة التالية :

$$E_T (\text{mm}) = k * p (0.46 T_a + 0.13)$$

و فيه :

E_T : التبخر- نتح الكامن لنوع المحصول الزراعي خلال الفترة المدروسة.

k : معامل يرتبط بنوع النبات وموقع المكان وفصل النمو الزراعي (مارس- سبتمبر)، وهو يساوي ٠.٨٥ لشهر الفترة (أبريل- سبتمبر) و ٠.٤٥ لشهر الفترة (أكتوبر- مارس).

p : % لعدد ساعات الشهر إلى إجمالي عدد ساعات السنة.

T_a : المتوسط الشهري لدرجات الحرارة (م°).

٤-٢- نماذج تقدير التبخر- نتح اعتماداً على الإشعاع الشمسي ودرجة الحرارة (Makkink ١٩٥٧)

يتم حساب التبخر- نتح الكامن بنموذج ماكينك بتطبيق المعادلة التالية :

$$ET (\text{mm} \cdot \text{day}^{-1}) = 0.61 \left[\frac{\Delta}{\Delta + \gamma \lambda} \right] \left[\frac{R_s}{\lambda} \right] - 0.12$$

و فيه :

ET : التبخر- نتح الكامن اليومي (mm).

R_s : إجمالي الإشعاع الشمسي ($\text{MJ m}^{-2} \text{ day}^{-1}$).

Δ : انحدار منحنى ضغط بخار الماء وهو يساوي :

$$\Delta = \left[\frac{250.4 \exp \left[\frac{17.27 T_a}{T_a + 237.3} \right]}{(T_a + 237.3)^2} \right]$$

و فيه :

Δ : انحدار منحنى ضغط بخار الماء ($\text{kPa}/{}^{\circ}\text{C}$).

T_a : درجة الحرارة اليومية (${}^{\circ}\text{C}$).

γ : الثابت السيكومترى ($\text{kPa}/{}^{\circ}\text{C}$) وهو يساوي :

$$\gamma = 0.00163 \left[\frac{P}{\lambda} \right]$$

حيث يمثل P الضغط الجوي اليومي (kPa) و λ الحرارة الكامنة للتتبخر وهي تساوي :

$$\lambda (\text{MJ/kg}) = 2.501 * 10^{-3} (2.361 - 2.01)$$

٤-٢-٣- نموذج (جنسن - هايس، ١٩٧٣) (Jensen-Haise) :

يستخدم هذا النموذج لتقدير التبخر- نتح الكامن اليومي بتطبيق المعادلة التالية :

$$E_{tp} (\text{Langley/day}) = C_t (T' + T_x) R_s$$

و فيه يمثل E_{tp} كمية التبخر- نتح الكامن اليومي (إنجلي/يوم) و R_s إجمالي الإشعاع الشمسي (إنجلي/يوم) و C_t معامل يتم حسابه بتطبيق المعادلة التالية :

$$C_t = 1/C_1 + C_2 + CH$$

و فيه $C_1 = 38 - (2EL)/(305)$, حيث يمثل EL ارتفاع المحطة عن سطح البحر (متر).

تحليل معايرة التبخر نتح الكامن اليومي الكامن بواسطة قياسات حوض التبخر نوع (١) بمناطق المملكة العربية السعودية

$C_2 = -10.6 C^0$
 $CH = (e_2 - e_1)/(e_2 - e_1)$, حيث يمثل e_1 ضغط بخار الماء المشبع (mb) عند درجة الحرارة الدنيا (C^0) و هو يحسب بواسطة المعادلة التالية : (Musy, ٢٠٠٤)

$$e_1(kPa) = 0.6108 \exp \left[\frac{17.67 T_{\text{mean}}(C^0)}{T_{\text{mean}}(C^0) + 237.3} \right]$$

و e_2 ضغط بخار الماء الفعلي (mb) عند درجة الحرارة القصوى (C^0) وهو يساوي :

$$e_2(mb) = e_1(mb) \left[\frac{R_h}{100} \right]$$

وفيه R_h متوسط الرطوبة النسبية الشهري.

e_2 ضغط بخار الماء الفعلي عند درجة الحرارة القصوى (C^0).

و $((e_2 - e_1) / (e_2 - e_1)) = 0.14 - 0.05 = 0.09$.

ويتم تحويل التبخر اليومي المحسوب بوحدة (لانجي/يوم) إلى تبخر يومي (ملم/يوم) بتطبيق المعادلة التالية :

$$E_{tp}(\text{mm/day}) = E_{tp}(\text{Langley/day}) \cdot (1/y)$$

وفيه $(T' - 59.9) = 0.055 - 0.05 = 0.005$, حيث يمثل T' المتوسط الشهري لدرجة الحرارة (C^0).

٤-٣- نماذج تقدير التبخر- نتح الاشعاع الشمسي والرطوبة النسبية

٤-١- نموذج (إيفانوف، ١٩٥٤) (Ivanov ١٩٥٤) :

يستخدم هذا النموذج لتقدير المتوسط الشهري للتبخر- نتح الكامن بتطبيق المعادلة التالية :

$$E = 0.0018 (25 + t) (100 - f)$$

وفيه يمثل E المتوسط الشهري للتبخر- نتح الكامن (ملم) و t المتوسط الشهري لدرجات الحرارة (C^0) و f المتوسط الشهري للرطوبة النسبية (%).

٤-٢- نموذج (تورك، ١٩٦١) (Turc ١٩٦١) :

يتم حساب التبخر بنموذج تورك بتطبيق المعادلة التالية : (Diouf et al., ٢٠١٦ : ١١٧)

$$ET_o \left(\frac{\text{mm}}{\text{day}} \right) = a * C * (R_g + b) * \left[\frac{T}{T + 10} \right]$$

وفيه ET_o متوسط التبخر- نتح الكامن اليومي (ملم) و T متوسط درجة الحرارة اليومية ($^{\circ}\text{C}$) و R_g إجمالي الاشعاع الشمسي ($\text{MJ.m}^{-2}.day^{-1}$) و a ثابت قدره (٠.٣١) و b ثابت قدره (٢.٠٩٤ $\text{MJ.m}^{-2}.day^{-1}.mm^{-1}$) و C معامل حراري يساوي :

بالنسبة لشهور السنة التي تتسم برطوبة نسبية تقل أو تساوي ٥٠%.

$$C = 1 + \left[\frac{50 - RH}{70} \right]$$

بالنسبة لشهر السنة التي تتسم برطوبة نسبية تقل عن ٥٠% ($RH < 50\%$).

$RH = 100 \pm 50\%$ بالنسبة لشهور السنة التي تتسم برطوبة نسبية تساوي أو تزيد عن 50% .

ولغرض تقييم أداء كل نموذج تم فحص نتائج تقدير كل نموذج بتطبيق المعايير الإحصائية التالية :

١- معدل الخطأ المطلق (MAE)

$$MAE = \frac{\sum_{i=1}^n |O_i - E_i|}{n}$$

٢- جذر معدل مربع الخطأ (RMSE)

$$RMSE = \sqrt{\frac{\sum_{i=1}^n (O_i - E_i)^2}{n}}$$

٣- النسبة المئوية للخطأ (PE)

$$PE = \left[\frac{O_i - E_i}{E_i} \right] \times 100$$

٤- معامل المصداقية (RC)

$$RC = 1 - \frac{\sum_{i=1}^n [O_i - E_i]^2}{\sum_{i=1}^n [|E_i - O'_i| + |O_i - O'_i|]^2}$$

وفيها :

O_i : القيمة الفعلية.

E_i : القيمة المحسوبة.

n : عدد القياسات.

٥- الدراسات السابقة

تعتبر دراسة التبخر- نتح الكامن بصفة عامة قليلة في المملكة العربية السعودية مثلها مثل قياسات التبخر الفعلي في حد ذاته، بحيث إنها لم تتن قسطاً وافراً من الدراسات العلمية بالرغم من أهمية هذه الظاهرة وما لها من تأثيرات بيئية.

ومن الدراسات التي اهتمت بتقدير وتحليل التبخر- نتح الكامن في المملكة دراسة (الجراش، ١٩٩٢) التي شملت ثمانى محطات مناخية تتوفّر ببياناتها المناخية على الرطوبة النسبية والحرارة وقياسات التبخر بواسطة حوض التبخر الأمريكي نوع "أ" وهي دراسة مقارنة لأداء نموذجي (Penman, ١٩٥٤) و (Ivanov, ١٩٥٤). وقد أظهرت هذه الدراسة قصور نموذج بنمان في تقدير المتوسط الشهري للتبخر- نتح بجميع المحطات المدروسة وصلاحية نموذج إيفانوف في محطات تبوك و حائل و المدينة المنورة و السليم و بيشة.

وقام كذلك (الطاھر، ١٩٩٨) بدراسة لظاهرة التبخر- نتح الكامن انتهت إلى صياغة نموذج لتقدير المتوسط الشهري للتبخر بواسطة العلاقة بين أربعة عناصر مناخية هي الحرارة والأشعاع الشمسي والرطوبة النسبية وسرعة الرياح من جهة وكمية التبخر بواسطة حوض التبخر نوع "أ" من جهة ثانية. وقدم (بوروبه، ٢٠٠٧) دراسة تناولت معايير قيم نماذج حساب التبخر- نتح بواسطة حوض التبخر نوع "أ" بمنطقة عسير الجبلية اعتمدت على تطبيق إثنى عشرة نموذج في ست محطات هي أبها وبيشة وتثليث و سر لعصان و سراة عبيدة و النماص. وقد أظهرت هذه الدراسة أن تقدير نموذجي- (Jensn- Ivanov, ١٩٥٤) و (Haise, ١٩٧٣) هو الأقرب بالتقسان إلى المعدل السنوي الفعلي

تحليل معايرة التبخر نتح الكامن اليومي الكامن بواسطة قياسات حوض التبخر نوع (١) بمناطق المملكة العربية السعودية
فهدة فلاح بن حشر

للتبخر وأن تقدير نموذجي (Dalton, ١٩٠٤) و (Garnier, ١٩٦٤) هو الأقرب بالزيادة من المعدل السنوي الفعلي للتبخر بمنطقة عسير الجبلية.

في عام ٢٠٠٧ قدمت بن حشر دراسة عن تأثير خصائص الأمطار والتبخر على تقدير الميزانية المائية بشمال المملكة العربية السعودية اعتمدت فيها على البيانات المناخية لإحدى عشر محطة تم خلالها دراسة الخصائص التوزيعية لمتوسطات التبخر السنوية والفصلية ودرجة تذبذبها اعتماداً على معامل الاختلاف لمحطات الدراسة كما تم تطبيق معادلة (تورنثوايت ١٩٤٨) لعمل الميزانية المائية، أيضاً تم تطبيق معادلات كوبن ١٩٣١ (Koppen, ١٩٥٧) و (دي مارتون، ١٩٥٧) (De Martonne) و (لانج و تورنثوايت ١٩٤٨) (Lang & Thornthwaite, ١٩٤٨) في تحديد القيمة الفعلية لأمطار منطقة الدراسة.

وقد قدم العديد من الباحثين دراسات لتحديد الاحتياجات المائية للمحاصيل الزراعية بواسطة تقدير كمية التبخر- نتح بتطبيق نماذج رياضية مختلفة في مناطق متباينة من حيث الخصائص المناخية والجغرافية دون معايرة لنتائج هذه النماذج المبنية على معادلات تجريبية كدراسات (Al Saaran, ١٩٩٩) و (العمري، ١٩٩٤) و (الغشيان، ١٩٩٠) و (Sorman and Abdulrazzak, ١٩٩٥).

وهناك العديد من الدراسات العربية التي تناولت ظاهرة التبخر- نتح الكامن ومدى تأثيراتها على النشاط الزراعي في ظل قلة الأمطار أو ندرتها أهمها الدراسات التي قام بها عدة باحثين لتحديد القيمة الفعلية للأمطار أو الاحتياجات المائية أو الموازنة المائية أو مقارنة نتائج نماذج تقدير التبخر-نتح مع قياسات حوض التبخر نوع "أ". ومن الدراسات التي اعتمدت على القيمة الفعلية للأمطار تلك التي تمت في العراق، كدراسة (الشلش، ١٩٧٦) التي أظهرت أن كمية الأمطار الفعلية التي تؤثر في نمو المحاصيل الزراعية بالعراق ترتبط بكمية التبخر- نتح الذي يتحكم في كمية ما تخزنها التربة ودراسة (القصاب، ١٩٨٥) التي تناولت تحديد القيمة الفعلية للأمطار اعتماداً على كمية التبخر- نتح.

كما أظهر (الشلش، ١٩٧٩) في دراسة أخرى بمجموع إحدى وثلاثين محطة مناخية تتوزع بمناطق مختلفة من العراق وجود تباين مكاني في الموازنة المائية يرتبط بتباين كميات الأمطار الشهرية والسنوية التي تتحكم بشكل مباشر في كميات العجز والفائض المائي عن طريق عملية التبخر. وتوصلت دراسة (البياني، ١٩٨٥) إلى تحديد العلاقة القائمة بين كميتي الأمطار التبخر- نتح الكامن. وقد أجرى (الجبوري، ٢٠٠٢) دراسة أخرى طبق فيها ستة نماذج لتقدير التبخر- نتح الكامن بالعراق. وفي إطار تحديد الموازنة المائية وتوزيع الأراضي الزراعية بشبه جزيرة سيناء (مصر)، قام (السموني، ٢٠١٣) بإجراء دراسة باستخدام نموذج تورنثوايت (Thornthwaite) في تسعة محطات إرصاد جوية تتوفر على بيانات مناخية للفترة ١٩٨٠-٢٠٠٠ بهدف تحديد العجز المائي الفصلي والسنوي. كما قام أيضاً (زيتون، ٢٠١٦) بتحليل الموازنة المائية للتربة في شمال الأردن خلال الفترة ١٩٧٠-٢٠٠٩، توصل من خلاله إلى معرفة فترات الفائض والعجز المائي ومدى إمكانية الاستفادة منها في النشاط الزراعي بأربع مناطق مثلثها المحطات المناخية لرأس منيف والباقورة وإربد والمفرق. وقد اعتمدت هذه الدراسة على المتوسطات الشهرية والسنوية لكميات الأمطار ودرجات الحرارة في تطبيق نموذج تورنثوايت المعدل في عام ١٩٥٥ لتقدير التبخر- نتح وحساب الموازنة المائية.

ونشر أيضاً (الموسوى وأخرون، ٢٠١٦) بحثاً تناولاً فيه تقدير الاحتياجات المائية لمشروع الجريوية في محافظة بابل اعتمداً فيه على تقدير التبخر- نتح الكامن في حساب الاستهلاك والاحتياج المائي للمحاصيل الزراعية التي شملها هذا المشروع. وهناك محاولات أخرى لتقدير التبخر- نتح بواسطة حوض التبخر نوع "أ" منها دراسة (كنجو وأخرين، ٢٠١٦) لتقدير التبخر- نتح الكامن وبعض النماذج البسيطة في منطقة الازفية بسوريا ودراسة (جاسم وحمدون، ٢٠١٤) لمقارنة نتائج تقدير نموج بنمان - مونتيث Penman-Monteith وقياسات حوض التبخر نوع "أ" في مناطق مختلفة من العراق.

٦- النتائج والمناقشة

أظهرت هذه الدراسة جملة من النتائج تتلخص في :

- ١- وجود تباين مكاني لقياسات حوض التبخر نوع "أ".
 - ٢- وجود تباينات في أداء نماذج تقدير التبخر- نتح.
- وسوف يتم تناول تحليل هذه التباينات بالتفصيل.

٦-١- تحليل التباين المكاني لقياسات حوض التبخر نوع "أ"

تعكس بيانات الجدول ٤ التباينات المكانية بين كميات التبخر- نتح الكامن الشهرية والفصلية بالمحطات المدروسة. وتباين كميات التبخر- نتح الكامن من محطة لأخرى ومن فصل لأخر بالمحطة نفسها، بحيث تبدأ كميات التبخر- نتح الكامن في الانخفاض التدريجي من شهر يونيو (منتصف فصل الصيف) بمحطات القصومة وجدة وتبوك ومطار الملك خالد وحائل ومن شهر يونيو بمحطتي خميس مشيط والظهران حتى تصل أدناها خلال شهر ديسمبر (بداية فصل الشتاء) بمحطتي تبوك ومطار الملك خالد وشهر يناير بمحطات حائل وخميس مشيط والقصومة وجدة والظهران.

وتبلغ نسبة المجموع الفصلي للتبخر- نتح الكامن إلى المجموع السنوي نسباً تبايناً كذلك من فصل لأخر في نفس المحطة وبين المحطات خلال الفصل نفسه، بحيث يبلغ التبخر- نتح الكامن أقصاه خلال فصل الصيف بنسب تترواح بين ١.٣٠% بمحيطة الظهران و ٤.١% بمحيطة القصومة ويليه فصل الربيع بنسب تترواح بين ٣.١% بمحيطة القصومة و ٧.٢% بمحيطة تبوك. ويلي فصل الربيع فصل الخريف بنسب تترواح بين ٤.٢% بمحيطة تبوك و ٥.٦% بمحيطة خميس مشيط، في حين ينخفض التبخر- نتح الكامن الفصلي إلى أدناه خلال فصل الشتاء بنسب تترواح بين ١٠.٢% بمحيطة القصومة و ٢٠.٦% بمحيطة جدة.

أما على مستوى التغيرات الفصلية فيلاحظ أن نسبة التبخر- نتح الكامن لفصل الشتاء بالنسبة للمجموع السنوي تزيد عن ١٧.٠% بمحيطتي خميس مشيط وجدة وتنقل عن هذه النسبة بجميع المحطات الأخرى. كما يقل التبخر- نتح الكامن لفصل الشتاء بمحيطة تبوك عن مثيله بمحيطتي حائل وخميس مشيط بنسبة تبلغ على التوالي ٩% و ١١% ويزيد عن نظيره بمحيطة مطار الملك خالد بنسبة تبلغ ٤٠%. ويزيد التبخر- نتح الكامن لهذا الفصل بمحيطة حائل نظيره بمحيطة مطار الملك خالد بنسبة تبلغ ٤٥% وينقص عن نظيره بمحيطة خميس مشيط بنسبة لا تتعدي ٢%， في حين يقل التبخر- نتح الكامن الشتوي لمحيطة مطار الملك خالد عن نظيره بمحيطة خميس مشيط بنسبة تصل إلى ٣٦%. ويرتفع تدريجياً مجموع التبخر- نتح الكامن خلال فصل الربيع بتباينات واضحة، بحيث وجد أن نسبة التبخر- نتح الكامن لفصل الربيع بالنسبة للمجموع السنوي تزيد عن ٦٠% بمحطات حائل ومطار الملك خالد وتبوك وتنقل عن هذه النسبة باقي المحطات الأخرى. كما يقل التبخر- نتح الكامن لفصل الربيع بمحيطة تبوك عن مثيله بمحيطة حائل بنسبة تبلغ ٩% ويفوق في الوقت نفسه مثيله بمحيطتي مطار الملك خالد وخميس مشيط بنسبة تبلغ على

تحليل معايرة التبخر نتح الكامن اليومي الكامن بواسطة قياسات حوض التبخر نوع (أ) بمناطق المملكة العربية السعودية
فهدة فلاح بن حشر

التوالي ٤٢٪ و ٤٠٪، بينما يفوق التبخر- نتح الكامن لمحطة حائل مثيله بمحيط مطار الملك خالد وخميس مشيط بنسبة

الجدول ٤ : التباينات الفصلية والشهرية لكميات حوض التبخر (ملم) نوع "أ" بالمحطات المدروسة

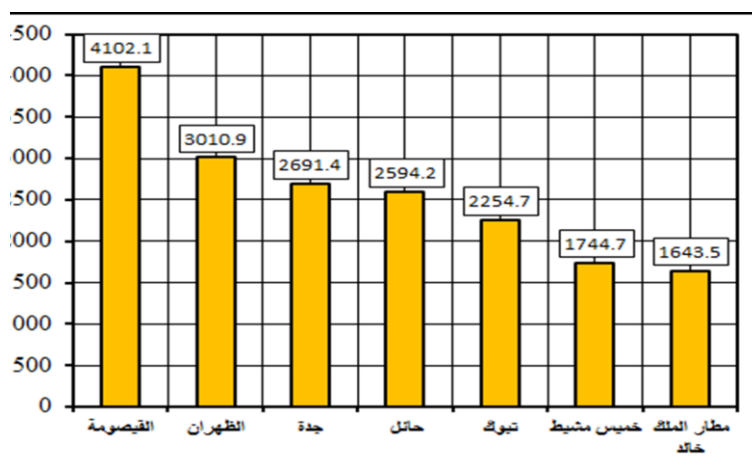
الفصل	الشهر	تبوك	حائل	مطار الملك خالد (الرياض)	خميس مشيط	جدة	الظهaran	القيصومة
الشتاء	ديسمبر	٧٩.٣	٩٧.٨	٦٠.٥	١٠٢.٢	١٩٠.٦	١٣٤.٠	١٣٥.٠
	يناير	٩١.٢	٩٢.١	٦١.٦	١٠١.٢	١٧٩.٢	١٢١.٤	١٢٣.٣
	فبراير	١٠٨.٠	١١٦.٥	٧٧.٤	١١٠.٢	١٨٥.٢	١٣٨.١	١٥٩.٠
	المجموع	٢٧٨.٥	٣٠٦.٤	١٩٩.٥	٣١٣.٦	٥٥٥.٠	٣٩٣.٥	٤١٧.٢
	%	١٢.٤	١٢.١	١٢.١	١٨.٠	٢٠.٦	١٣.١	١٠.٢
الربيع	مارس	١٦١.٦	١٧٣.٠	١١٨.٣	١٣٢.٦	٢٠٠.٥	١٧٤.٧	٢١٢.٣
	أبريل	٢١٤.٢	٢٠٣.٨	١٤٢.١	١٤٥.١	٢٢٩.٤	٢٤٢.٩	٢٩٩.٢
	مايو	٢٣٦.٨	٢٩٩.٨	١٦٩.٧	١٥٩.٥	٢٥٠.٨	٣٣٩.٦	٤٣٤.٥
	المجموع	٦١٢.٦	٦٧٦.٦	٤٣٠.١	٤٣٧.٢	٦٨٠.٦	٧٥٧.٣	٩٤٦.٠
	%	٢٧.٢	٢٦.١	٢٦.٢	٢٥.١	٢٥.٣	٢٥.٢	٢٣.١
الصيف	يونيو	٢٨٣.٠	٣٤٧.٦	٢١٢.٧	٢٠٢.٦	٢٦٠.٤	٤١٦.٠	٥٤٣.٨
	يوليو	٣٠٤.٩	٣٤٧.٩	٢١٨.٢	١٧٧.١	٢٨٥.٦	٤٠٦.٩	٥٨٩.١
	أغسطس	٢٧١.٥	٣٢٠.٣	٢٠٦.٣	١٦٦.٧	٢٦٤.٨	٣٥٠.٢	٥٦٩.٦
	المجموع	٨٥٩.٤	١٠١٥.٨	٦٣٧.٢	٥٤٦.٤	٨١٠.٨	١١٧٣.١	١٧٠٢.٥
	%	٣٨.١	٣٩.٢	٣٨.٨	٣١.٣	٣٠.١	٣٠.١	٤١.٠
الخريف	سبتمبر	٢٢٥.٥	٢٧٣.٨	١٦٦.٠	١٨٠.١	٢٢٧.٣	٢٩٠.٧	٤٩٠.٥
	أكتوبر	١٦٩.٧	٢٠٣.٢	١٢٩.٨	١٥٢.٤	٢١٣.٨	٢٢٤.٩	٣٤٨.٧
	نوفمبر	١٠٩.٠	١١٨.٤	٨٠.٩	١١٥.٠	٢٠٤.٣	١٧١.٥	١٩٧.٢
	المجموع	٥٠٤.٢	٥٩٥.٤	٣٧٦.٧	٤٤٧.٥	٦٤٥.٤	٦٨٧.٠	١٠٣٦.٤
	%	٢٢.٤	٢٣.٠	٢٢.٩	٢٥.٦	٢٤.٠	٢٢.٨	٢٥.٣
السنة								٤١٠٢.١
٥٧٪ و ٥٥٪ في حين يقل التبخر- نتح الكامن لمحطة مطار الملك خالد عن نظيره بمحيط خميس مشيط بنسبة لا تتعدي ٢٪.								٣٠١٠.٩

تبلغ على التوالي ٥٧٪ و ٥٥٪ في حين يقل التبخر- نتح الكامن لمحطة مطار الملك خالد عن نظيره بمحيط خميس مشيط بنسبة لا تتعدي ٢٪.
ويصل المجموع الفصلي للتبخر- نتح الكامن أقصاه خلال فصل الصيف بجميع المحطات، بحيث لوحظ أن نسبة التبخر- نتح الكامن لفصل الصيف بالنسبة للمجموع السنوي تفوق ٣٨٪ بمحطات تبوك ومطار الملك خالد وحائل والقيصومة وتقل عن هذه النسبة بباقي المحطات الأخرى. كما يقل التبخر- نتح الكامن لفصل الصيف بمحيط تبوك عن مثيله بمحيط حائل بنسبة تبلغ ١٥٪، ويزيد عن مثيله بمحيط مطار الملك خالد وخميس مشيط بنسبة تبلغ على التوالي ٣٥٪ و ٥٧٪، بينما يزيد التبخر- نتح الكامن بمحيط حائل عن نظيره بمحيط مطار الملك خالد وخميس مشيط بنسبة تبلغ على التوالي

و ٥٩٪ . كما يزيد التبخر- نتح الكامن بمحطة مطار الملك خالد عن نظيره بمحطة خميس مشيط بنسبة تصل إلى ١٧٪ .

و يبدأ التبخر في الانخفاض التدريجي مع حلول فصل الخريف بتباينات مكانية واضحة، بحيث وجد أن نسبة التبخر لفصل الخريف بالنسبة للمجموع السنوي تفوق ٢٣٪ بمحطات جدة والقيصومة وخميس مشيط ويقل عن هذه النسبة بباقي المحطات الأخرى. كما يقل تبخر فصل الصيف بمحطة تبوك عن نظيره بمحطة حائل بنسبة تبلغ ١٥٪ ويفوق مثيله بمحيطي مطار الملك خالد وخميس مشيط بنسبة تبلغ على التوالي ١٣٪ و ٣٤٪ ، بينما يفوق التبخر بمحطة حائل مثيله بمحيطي مطار الملك خالد و خميس مشيط بنسبة تبلغ على التوالي ٥٨٪ و ٣٣٪ . في حين يقل التبخر- نتح الكامن بمحطة مطار الملك خالد عن نظيره بمحطة خميس مشيط بنسبة تبلغ ١٦٪ .

ومن ما تقدم لوحظ أن المجموع السنوي للتبخر- نتح الكامن يصل أقصاه بما يعادل ٤٠٢.١ ملم بمحطة القيصومة وأدناء بما يعادل ١٦٤٣.٥ ملم بمحطة مطار الملك خالد، أي بفارق قدره ٥٩.٩٪ بين المحيطتين. كما يزيد المجموع السنوي للتبخر- نتح الكامن بمحطة الظهران بالساحل الشرقي نظيره بمحطة جدة في الساحل الغربي بنسبة تعادل ٦٪ ، في حين يزيد المجموع السنوي للتبخر- نتح الكامن بمحطة القيصومة عن نظيره بمحطة الظهران بنسبة تعادل ٢٦.٦٪ . كما نجد أن المجموع السنوي للتبخر- نتح الكامن بمحطة تبوك يقل عن مثيله بمحطة حائل بنسبة تبلغ ١٣٪ ، في حين يزيد المجموع السنوي للتبخر- نتح الكامن بمحيطي خميس مشيط ومطار الملك خالد بنسبة تبلغ على التوالي ٢٩٪ و ٣٧٪ . ويزيد المجموع السنوي للتبخر- نتح الكامن بمحطة حائل مثيله بمحيطي خميس مشيط و مطار الملك خالد بنسبة تبلغ على التوالي ٤٩٪ و ٥٨٪ ، في حين يقل هذا المجموع بمطار الملك خالد عن نظيره بخميس مشيط بنسبة لا تتعدي ٦٪ (الشكل ٢).



الشكل ٢ : تباينات المجموع السنوي لتبخر حوض "أ" خلال فترة الدراسة

تحليل معايرة التبخر نتح الكامن اليومي الكامن بواسطة قياسات حوض
التبخر نوع (أ) بمناطق المملكة العربية السعودية
فهدة فلاح بن حشر

٢-٦ - تحليل نتائج نماذج تقدير التبخر- نتح الكامن

يستحسن تحليل نتائج أداء نماذج تقدير التبخر- نتح الكامن المدروسة على مستوى كل محطة كما يلي : (الجدول ٥)

الجدول ٥ : المتوسطات الشهرية للتبخر - نتح الكامن (ملم) بالمحطات المدروسة خلال الفترة ١٩٨٥-١٩١٥

Thornthwaite	Blaney-Criddle	Makkink	Jensen-Haise	Ivanov	Turc	Class A Pan	الشهر	المحطة
٨٥.٨	٥٦.٩	٣٨.٨	٣٦.٠	٩٨.٧	١١٣.١	٩٢.١	يناير	
٨٤.٤	٥٤.٤	٤٣.٠	٣٥.٥	١٢٥.٨	١٢٣.٥	١١٦.٥	فبراير	
٨٤.٤	١١٨.٨	٥٦.٦	٤٥.٠	١٤٢.٤	١٥٩.٤	١٧٣.٠	مارس	
٨٣.٨	١٢١.٧	٦٧.٨	٥١.٨	١٦٧.٣	١٨٥.٥	٢٠٣.٨	أبريل	
٨٢.٤	١٣٤.٤	٨٥.٨	٦٢.١	٢١٣.٠	٢٢١.٢	٢٩٩.٨	مايو	
٨١.٢	١٣٦.٢	٩٣.٠	٦٤.١	٢٦٧.٢	٢٧٠.٨	٣٤٧.٦	يونيو	
٨١.٥	١٣٩.٧	٩٣.٠	٦٦.٠	٢٣٩.٠	٢٥٣.٦	٣٤٧.٩	يوليو	
٨٠.٠	١٣٨.٧	٨٣.٠	٦٠.٥	٢١٧.٤	٢١٦.٢	٣٢٠.٣	أغسطس	
٧٩.٣	١٣٢.٣	٦٧.٨	٤٧.١	٢٦١.٧	٢١٠.٩	٢٧٣.٨	سبتمبر	
٨٠.٨	٦٦.٤	٥٥.٠	٣٩.١	٢١٧.١	١٧٥.٤	٢٠٣.٢	أكتوبر	
٨٣.١	٥٩.٢	٤٢.٣	٣٤.٣	١٣٣.٤	١٢٢.٤	١١٨.٤	نوفمبر	
٨٤.٥	٥٧.٦	٣٨.٩	٣٥.٤	١٠٣.٠	١١٤.١	٩٧.٨	ديسمبر	
٩٢.٣	٥٠.٦	٣٥.٤	٢٥.٥	١١٧.٥	٢١٢.٨	٩١.٢	يناير	
٨٦.٨	٥١.٧	٤١.٣	٢٦.٣	١٨٢.٥	١٩٨.٦	١٠٨.٠	فبراير	
٨٥.٤	١١٦.١	٥٥.٩	٣٣.٧	٢١٢.٢	٢٢٨.٦	١٦١.٦	مارس	
٨١.٤	١٢٩.٤	٧٣.٧	٤٠.٨	٢٩٩.٤	٢١٤.٠	٢١٤.٢	أبريل	
٧٨.٩	١٤٧.٧	٩٨.٤	٥٠.١	٣٧١.٤	٢١٤.٩	٢٣٦.٨	مايو	
٧٧.٢	١٥٣.٢	١١١.٥	٥٣.٨	٤٢٨.٥	٢٠٤.٥	٢٨٣.٠	يونيو	
٧٦.١	١٦٣.٦	١١٨.٨	٥٦.٩	٤٥٠.٤	٢١٩.١	٣٠٤.٩	يوليو	
٧٤.٤	١٦٤.٠	١٠٧.٣	٥٤.١	٤٤١.٥	٢٣١.٥	٢٧١.٥	أغسطس	
٧٥.١	١٥٠.٠	٨١.٥	٤٦.١	٣٨٤.٢	٢٣٥.٨	٢٢٥.٥	سبتمبر	
٧٧.٠	٧٣.٦	٦٢.٨	٤٠.٢	٢٩٢.٤	٢٥٨.٣	١٦٩.٧	أكتوبر	
٨٢.٦	٥٩.٨	٤٢.٥	٣٠.٤	١٨٦.٠	٢٤٧.٩	١٠٩.٠	نوفمبر	
٨٩.٠	٥٢.٩	٣٦.٣	٢٦.٧	١٢٧.٤	٢٢٥.٩	٧٩.٣	ديسمبر	

تابع الجدول ٥ : المتوسطات الشهرية للتبخر - نتح الكامن (ملم) بالمحطات المدروسة خلال الفترة ١٩٨٥-٢٠١٥

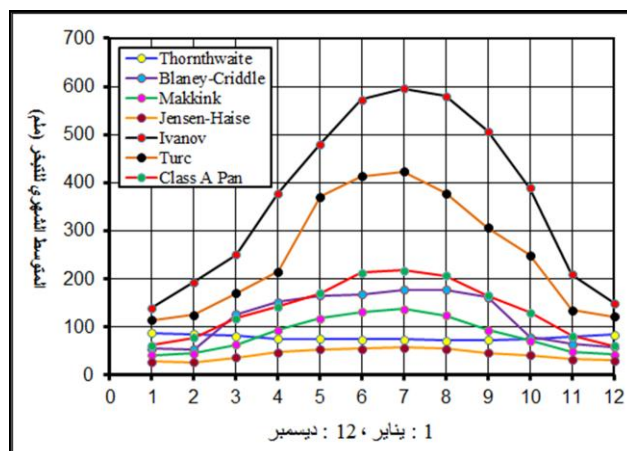
المحطة	الشهر	Class A Pan	Turc	Ivanov	Jensen-Haise	Makkink	Blaney-Criddle	Thornthwaite
٣٠-٣١	يناير	١٢٣.٣	٩٩.١	٩٩.٢	٢٢.٣	٣٧.٢	٥١.٦	٩٠.٧
	فبراير	١٥٩.٠	١١٣.٩	١٤٥.٧	٢٢.٩	٤٢.٣	٥٠.٨	٨٧.٥
	مارس	٢١٢.٣	١٦٢.٤	٢١٢.٢	٣٢.٧	٦٠.٣	١٢١.٨	٨٣.٣
	أبريل	٢٩٩.٢	٢٠٣.٠	٣١٥.٥	٤٣.٥	٨٢.٢	١٣٨.٤	٧٩.١
	مايو	٤٣٤.٥	٣٦١.٣	٤٥٩.١	٥٧.٠	١١٦.٦	١٦٣.٣	٧٦.٠
	يونيو	٥٤٣.٨	٤٠٧.١	٥٦٥.٠	٦١.١	١٣٤.٢	١٦٩.٦	٧٤.٤
	يوليو	٥٨٩.١	٤٢٢.٤	٦٠٥.٠	٦٣.٥	١٤٣.٧	١٨٠.٩	٧٣.٥
	أغسطس	٥٦٩.٦	٣٧٦.٩	٥٨٨.٢	٥٧.٣	١٢٨.١	١٧٩.٩	٧١.٩
	سبتمبر	٤٩٠.٥	٣٠١.٦	٥١٣.٣	٤٥.٥	٩٥.٦	١٦٣.٨	٧٢.٥
	أكتوبر	٣٤٨.٧	٢٣٥.١	٣٧٠.١	٣٧.٠	٧١.٢	٧٩.٤	٧٤.٣
	نوفمبر	١٩٧.٢	١١٨.١	١٩٤.١	٢٣.٨	٤١.٩	٦٢.٤	٨٠.٥
	ديسمبر	١٣٥.٠	١٠٥.٢	١١٤.٣	٢٢.٦	٣٨.٤	٥٤.٣	٨٧.١
٣٢-٣٣	يناير	٦١.٦	١١٤.٨	١٣٩.٥	٢٧.٩	٤١.٥	٥٥.٠	٨٧.٥
	فبراير	٧٧.٤	١٢٥.١	١٩٣.٤	٢٧.٣	٤٤.٩	٥٤.١	٨٤.٦
	مارس	١١٨.٣	١٧٠.٢	٢٥٠.٨	٣٦.٢	٦٣.٠	١٢٧.١	٨١.٥
	أبريل	١٤٢.١	٢١٥.٣	٣٧٧.٨	٤٧.٥	٩٣.٢	١٥١.٩	٧٥.٨
	مايو	١٦٩.٧	٣٧٠.٧	٤٨٠.٦	٥٣.٢	١١٧.٧	١٦٥.٣	٧٥.٣
	يونيو	٢١٢.٧	٤١٣.٨	٥٧٢.٩	٥٤.٥	١٣٠.٩	١٦٨.٣	٧٤.٣
	يوليو	٢١٨.٢	٤٢٣.٧	٥٩٦.٢	٥٦.٨	١٣٧.٩	١٧٧.٩	٧٣.٦
	أغسطس	٢٠٦.٣	٣٧٨.٦	٥٨٠.٢	٥٤.٢	١٢٤.٣	١٧٧.٦	٧٢.١
	سبتمبر	١٦٦.٠	٣٠٦.٢	٥٠٧.٦	٤٦.٣	٩٣.١	١٦١.٢	٧٢.٩
	أكتوبر	١٢٩.٨	٢٤٩.٦	٣٨٩.٠	٤١.٣	٧٢.٠	٧٩.٤	٧٤.٤
	نوفمبر	٨٠.٩	١٣٥.٣	٢٠٩.٨	٣٢.٧	٤٨.٦	٦٤.٣	٧٩.٦
	ديسمبر	٦٠.٥	١٢١.٤	١٤٩.٨	٣٠.٠	٤٣.٢	٥٧.٨	٨٤.٤

تحليل معايرة التبخر نتح الكامن اليومي الكامن بواسطة قياسات حوض التبخر نوع (أ) بمناطق المملكة العربية السعودية

تابع الجدول ٥ : المتوسطات الشهرية للتبخر نتح الكامن (ملم) بالمحطات المدروسة خلال الفترة ١٩٨٥-٢٠١٥

Thornthwaite	Blaney-Criddle	Makkink	Jensen-Haise	Ivanov	Turc	Class A Pan	الشهر	المحطة
٧٨.٨	٧١.٠	٥٦.١	٣٠.٦	١٦١.٤	١٤٧.٠	١٧٩.٢	يناير	١٠٠
٧٨.٤	٦٥.٢	٥٨.٣	٣١.٤	١٦٧.٨	١٤٩.٠	١٨٥.٢	فبراير	
٧٧.٣	١٤٢.٤	٧٥.٦	٤٠.١	١٨٦.٠	١٨٦.٣	٢٠٠.٥	مارس	
٧٥.٦	١٤٦.٨	٩١.٤	٤٦.٨	٢١٩.٩	٢١١.٩	٢٢٩.٤	أبريل	
٧٤.٥	١٥٨.٣	١١٢.٦	٥٦.٤	٢٤٢.٣	٢٢٩.٢	٢٥٠.٨	مايو	
٧٣.٩	١٥٧.١	١١٩.٠	٥٩.٠	٢٥٠.٧	٢٣٣.٩	٢٦٠.٤	يونيو	
٧٢.٩	١٦٧.٣	١٢٦.٦	٦١.١	٢٨١.٧	٢٥١.٨	٢٨٥.٦	يوليو	
٧٢.٦	١٦٧.٣	١١٥.٠	٥٦.٩	٢٤٩.٣	٢١١.٩	٢٦٤.٨	أغسطس	
٧٣.١	١٥٧.٧	٩٢.٩	٤٨.٧	١٩٤.١	١٥٦.٢	٢٢٧.٣	سبتمبر	
٧٣.٨	٨٣.٣	٥٠.٠	٤٣.٤	١٨٢.٠	١٤٢.٥	٢١٣.٨	أكتوبر	
٧٥.٢	٧٦.٥	٦٤.٨	٣٥.٠	١٨١.٧	١٥٧.٥	٢٠٤.٣	نوفمبر	
٧٦.٩	٧٤.٥	٥٩.٧	٣٢.٥	١٧١.٦	١٥٢.١	١٩٠.٦	ديسمبر	
٨٥.٧	٥٧.٦	٤٢.٩	٤٠.١	٨٩.٧	١١٦.٣	١٢١.٤	يناير	١٠٠
٨٤.١	٥٥.١	٤٧.١	٣٨.٨	١١٢.١	١٢٦.٠	١٣٨.١	فبراير	
٨١.٥	١٢٧.١	٦٥.٦	٤٨.٠	١٦٠.٦	١٦٩.٤	١٧٤.٧	مارس	
٧٨.١	١٤٠.٤	٨٥.٥	٥٧.٧	٢٤٦.٣	٢٠٥.٣	٢٤٢.٩	أبريل	
٧٥.٢	١٦٣.٣	١١٨.٢	٧٣.١	٣٥٨.٦	٢٩٨.٠	٣٣٩.٦	مايو	
٧٣.٨	١٦٨.٣	١٣٣.٩	٧٧.٨	٤٤٠.١	٣٣٥.٨	٤١٦.٠	يونيو	
٧٣.١	١٧٨.٢	١٤١.٤	٨٢.١	٤٢٧.٣	٣٢٥.٤	٤٠٦.٩	يوليو	
٧٢.١	١٧٥.٩	١٢٤.٨	٧٥.٩	٣٥٨.٧	٢٦٢.٨	٣٥٠.٢	أغسطس	
٧٢.٨	١٦١.٢	٩٥.١	٦١.٨	٢٨٩.٨	١٩٩.١	٢٩٠.٧	سبتمبر	
٧٣.٩	٨١.٢	٧٥.٩	٥٤.٠	٢٠٩.٢	١٥٤.٥	٢٢٤.٩	أكتوبر	
٧٧.٥	٦٨.٧	٥٣.٤	٤١.٨	١٤٨.٧	١٤٠.٢	١٧١.٥	نوفمبر	
٨٢.٠	٦١.٧	٤٤.١	٣٨.٧	١٠٤.٢	١٢١.٠	١٣٤.٠	ديسمبر	
٩٠.٩	٥١.٥	٧٦.٤	٦٥.٦	١١٦.٠	١١٥.٩	١٠١.٢	يناير	١٠٠
٨١.٢	٥٠.٥	٨٠.٩	٥٣.٩	١٦٣.٢	١٤٠.٣	١١٠.٢	فبراير	
٨٧.٧	١١٦.٨	١٠٧.٦	٦٦.٧	٢٠٧.٤	١٩٥.٠	١٣٢.٦	مارس	
٨٣.٠	١٣٠.٤	١٣٢.٥	٧٨.٠	٢٨٨.٧	٢٤٧.٤	١٤٥.١	أبريل	
٨٤.٢	١٥٢.٣	١٦٩.٠	٩٦.٤	٣٩٤.٨	٣٢٦.٢	١٥٩.٥	مايو	
٧٩.٩	١٦٠.٠	١٨٣.٣	١٠٢.٣	٤٩٧.١	٣٦٧.٥	٢٠٢.٦	يونيو	
٨١.١	١٦٩.٦	١٩٠.١	١٠٦.٢	٥١٩.٤	٣٧٧.٦	١٧٧.١	يوليو	
٧٨.٩	١٧١.٣	١٧٧.٥	٩٩.٨	٥٢٢.٧	٣٥٠.٤	١٦٦.٧	أغسطس	
٧٤.٨	١٥٥.٨	١٤٧.٦	٨٣.٤	٤٦٠.١	٢٩٦.١	١٨٠.١	سبتمبر	
٧٧.٧	٧٥.٢	١٢٥.٥	٧٢.٩	٣٣٣.٩	٢٤٤.٠	١٥٢.٤	أكتوبر	
٨٠.٤	٥٩.٢	٩٠.٩	٦٢.٨	١٦٨.٨	١٤٥.٥	١١٥.٠	نوفمبر	
٨٨.٠	٥٣.٢	٧٩.٦	٦٥.٦	١٢٢.٧	١٢١.٩	١٠٢.٢	ديسمبر	

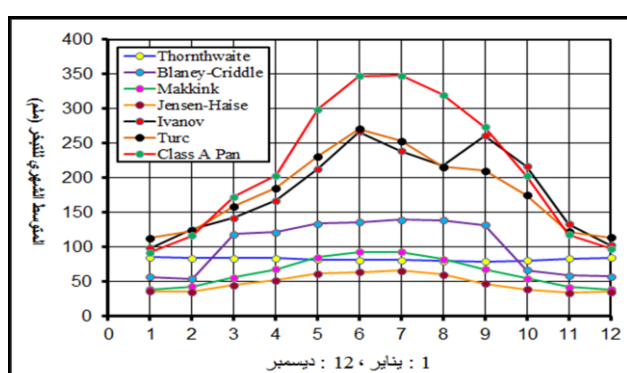
الأخرى للمجموع السنوي للتبخر - نتح الكامن عن كميات حوض التبخر بنسبي قدرها ٦٩% بالنسبة لنموذج جنسن-هليس و ٣٩% بالنسبة لنموذج ماكينك و ١٢% بالنسبة لنموذج بلاني-كريديل و ٤٣% بالنسبة لنموذج تورنثويت. أما بالنسبة للمتوسط الشهري فإن نتائج تقدير جنسن-هليس وماكينك تزيد خلال جميع الشهور عن كميات حوض التبخر وأن تقدير نموذج بلاني-كريديل تقل عن كميات حوض التبخر خلال جميع الشهور عدا شهري مارس وأبريل وأن تقدير نموذج تورنثويت تقل عن كميات حوض التبخر خلال جميع الشهور عدا شهور فصل الشتاء (ديسمبر، يناير، فبراير).



الشكل ٣ : المعدلات الشهرية للتبخر نتح الكامن بمحطة
مطار الملك خالد بالرياض للفترة ٢٠١٥-١٩٨٥

٤- محطة مطار حائل الاقليمي

يقن تقدير جميع النماذج للمجموع السنوي للتبخر - نتح الكامن عن كميات حوض التبخر، بنسبي تبلغ ١٦% بالنسبة لنموذجي تورك و إيفانوف و ٥٣% بالنسبة لنموذج بلاني-كريديل و ٦٢% بالنسبة لنموذج تورنثويت و ٧١% بالنسبة لنموذج ماكينك و ٧٨% بالنسبة لنموذج جنسن-هليس (الشكل ٤). أما بالنسبة للمتوسط الشهري فإن تقدير التبخر - نتح الكامن الشهري لجميع الشهور يقل عن كميات حوض التبخر خلال جميع الشهور بالنسبة لجميع النماذج عدا شهور الفترة الممتدة من نوفمبر إلى فبراير بالنسبة لنموذج تورك وشهور الفترة الممتدة من أكتوبر إلى فبراير بالنسبة لنموذج إيفانوف.



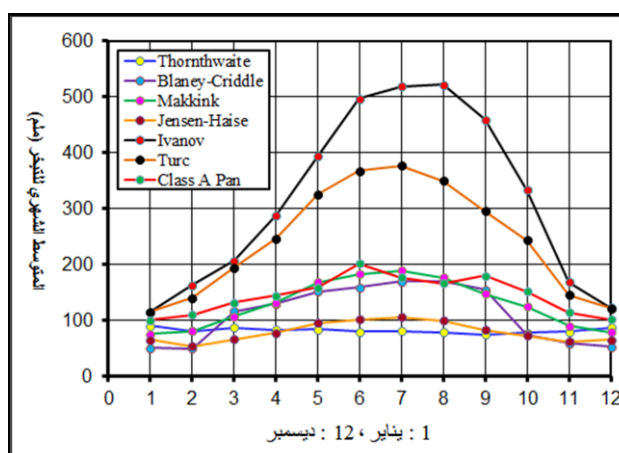
الشكل ٤ : المعدلات الشهرية للتبخر نتح الكامن (ملم) بمحطة
حائل للفترة ٢٠١٥-١٩٨٥

تحليل معايرة التبخر نتح الكامن اليومي الكامن بواسطة قياسات حوض التبخر نوع (١) بمناطق المملكة العربية السعودية
فهدة فلاح بن حشر

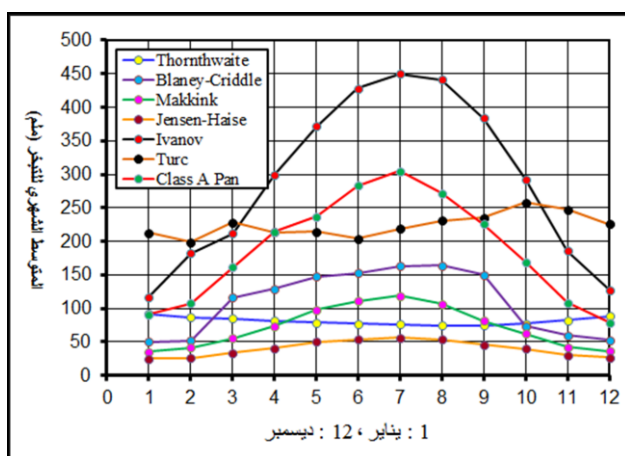
يقل تقدير نماذج جنسن-هاليس و ماكينك و بلاني-كرييدل وتورنثويت للمجموع السنوي للتبخر- نتح الكامن عن كميات حوض التبخر بنسب تبلغ %١١ بالسبة لنموذج ماكينك و %٢٣ بالسبة لنموذج بلاني-كرييدل و %٤٣ بالسبة لنموذج تورنثويت و %٤٥ بالسبة لنموذج جنسن-هاليس، في حين أن تقدير نموذجي تورك وإيفانوف للمجموع الشهري والسنوي للتبخر-نتح الكامن يزيد عن كميات حوض التبخر بنسبة تبلغ على التوالي %٦٨ و %١٨ (الشكل ٥). ويقل تقدير متوسط التبخر- نتح الكامن الشهري كذلك لهذه النماذج عن كميات حوض التبخر عدا شهور مايو ويوليو وأغسطس بالنسبة لنموذج ماكينك وشهر أغسطس بالنسبة لنموذج بلاني-كرييدل.

٤- محطة تبوك

يقل تقدير نماذج جنسن-هاليس و ماكينك و بلاني-كرييدل وتورنثويت للمجموع الشهري والسنوي للتبخر- نتح الكامن عن كميات حوض التبخر بنسب تبلغ على التوالي %٧٩ و %٦٢ و %٥٧ و %٤٢ و %٤٠، في حين يزيد تقدير نموذج إيفانوف للمجموع الشهري والسنوي للتبخر-نتح الكامن عن كميات حوض التبخر بنسبة تبلغ %٥٥ و يزيد تقدير نموذج تورك المجموع السنوي للتبخر- نتح الكامن بنسبة %١٩، بينما يقل تقدير هذا النموذج لتبخر الفترة الممتدة من أبريل إلى أغسطس (الشكل ٦).



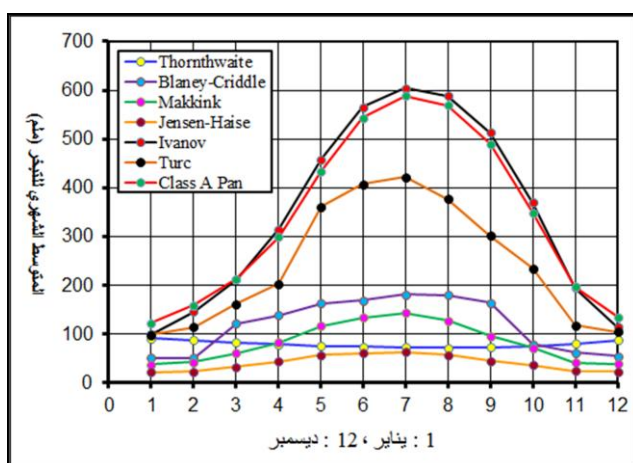
الشكل ٥ : المتوسطات الشهرية للتبخر- نتح الكامن (ملم) نتح بمحطة
 خميس مشيط للفترة ٢٠١٥-١٩٨٥



الشكل ٦ : المتوسطات الشهرية للتبخر - نتح الكامن (ملم) بمحطة
تبوك للفترة ١٩٨٥-٢٠١٥

٥- محطة القيصومة

يقل تقدير جميع النماذج للمجموع الشهري والسنوي للتبخر - نتح الكامن عن كميات حوض التبخر بنسب تبلغ %٧٦.٨ بالنسبة لنموذج تورنثوايت و %٦٥.٥ بالنسبة لنموذج بلاني-كريدل و %٧٥.٨ بالنسبة لنموذج ماكينك و %٨٨.١ بالنسبة لنموذج جنسن-هais و %٢٩.٢ بالنسبة لنموذج تورك، في حين يتمثل تقدير نموذج إيفانوف للمجموع الشهري والسنوي للتبخر - نتح الكامن مع كميات حوض التبخر بحيث لا يتعدى الفارق بينهما %٢٠ كما يفوق تقدير نموذج إيفانوف للمجموع الشهري للتبخر - نتح مثيله بحوض التبخر خلال الفترة من أبريل إلى أكتوبر (الشكل ٧).

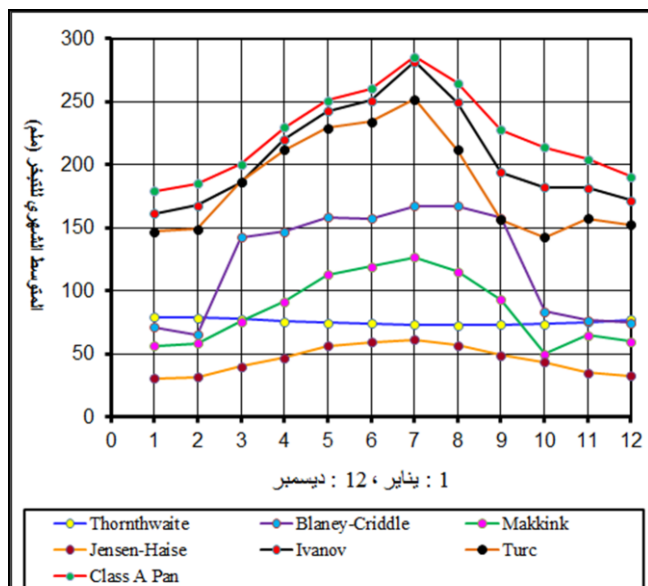


الشكل ٧ : المتوسطات الشهرية للتبخر - نتح الكامن بمحطة القيصومة خلال الفترة ١٩٨٥-٢٠١٥

تحليل معايرة التبخر نتح الكامن اليومي الكامن بواسطة قياسات حوض التبخر نوع (١) بمناطق المملكة العربية السعودية
فهدة فلاح بن حشر

٦- محطة جدة

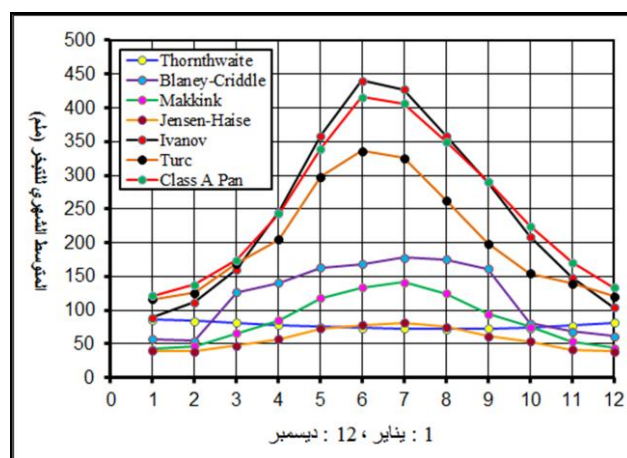
يقل تقدير جميع النماذج للمجموع الشهري والسنوي للتبخر- نتح الكامن عن كميات حوض التبخر بنسب تبلغ %٦٦.٤ بالنسبة لنموذج تورنثوايت و %٤٥.٥ بالنسبة لنموذج بلاني-كرييدل و %٦٢.٠ بالنسبة لنموذج ماكينك و %٧٩.٩ بالنسبة لنموذج جنسن-هais و %١٧.٢ بالنسبة لنموذج تورك، في حين يقل تقدير نموذج إيفانوف للمجموع الشهري والسنوي للتبخر- نتح الكامن مثيله لحوض التبخر بنسبة لا تتعدي %٧.٦. وعليه فإن نموذج إيفانوف هو الأقرب لقياس حوض التبخر مقارنة بجميع النماذج الأخرى (الشكل ٨).



الشكل ٨ : المتوسطات الشهرية للتبخر- نتح الكامن بمحطة
جدة للفترة ١٩٨٥-٢٠١٥

٧- محطة الظهران

يقل تقدير جميع النماذج للمجموع الشهري والسنوي للتبخر- نتح الكامن عن كميات حوض التبخر بنسب تبلغ %٦٩.١ بالنسبة لنموذج تورنثوايت و %٥٢.٢ بالنسبة لنموذج بلاني-كرييدل و %٦٥.٩ بالنسبة لنموذج ماكينك و %٧٧.١ بالنسبة لنموذج جنسن-هais و %١٨.٥ بالنسبة لنموذج تورك، في حين يقل تقدير نموذج إيفانوف للمجموع الشهري والسنوي للتبخر- نتح الكامن مثيله لحوض التبخر بنسبة لا تتعدي %٢.٢. وعليه فإن نموذج إيفانوف هو الأقرب لقياس حوض التبخر مقارنة بجميع النماذج الأخرى (الشكل ٩).



الشكل ٩ : المتوسطات الشهرية للتبخّر - نتح الكامن بمحطة
الظهران للفترة ١٩٨٥-٢٠١٥

تحليل معايرة التبخر نتح الكامن اليومي الكامن بواسطة قياسات حوض التبخر نوع (أ) بمناطق المملكة العربية السعودية
فهدة فلاح بن حشر

٦-٣-٦- فحص نتائج نماذج تقدير التبخر- نتح
تتلخص نتائج الفحص الاحصائي لنماذج تقدير التبخر- نتح الكامن في ما يلي :
(الجدول ٦)

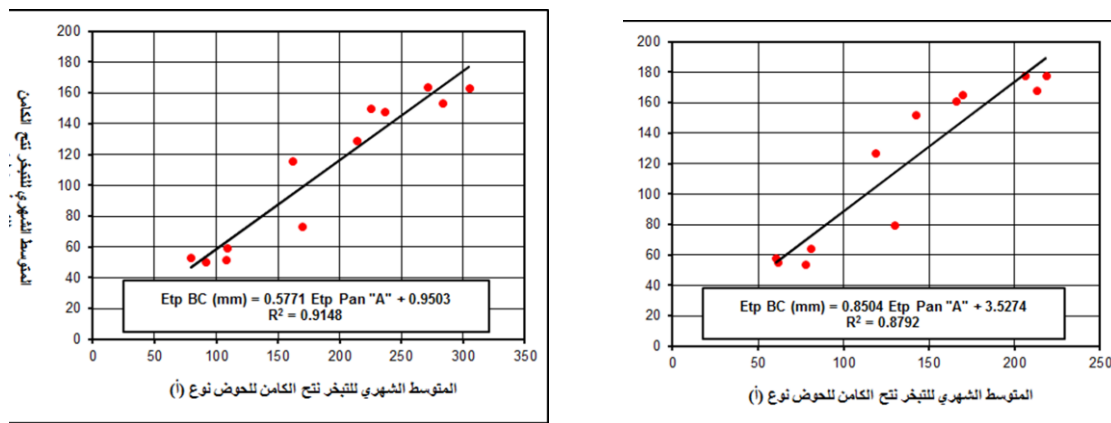
**الجدول ٦ : نتائج الفحص الاحصائي لأداء نماذج تقدير التبخر- نتح الكامن
 بالمحطات المدرستة خلال الفترة ١٩٨٥-٢٠١٥**

RC	PE	MAE	RMSE	النموذج	المحطة
٠.٩٤٩	-٢٨.٣	٢.٢٤	٢.٧٦	Thornthwaite	مطار الملك خالد (الرياض)
٠.٩٨٧	-١٢.٤	٠.٦٦	٠.٨٥	Blaney-Criddle	
٠.٩٧٣	-٣٨.٢	١.٧٣	١.٨٨	Makkink	
٠.٩٥٥	-٦٦.٤	٣.١٠	٣.٤٤	Jensen-Haise	
٠.٨٣٦	١٦٤.٥	٧.٦٧	٨.٥١	Ivanov	
٠.٦٧٦	٨١.٦	٣.٧٧	٤.٢٨	Turc	
٠.٩٤٥	-٣٩.٩٤	٢.٠٧	٢.٣٧	Thornthwaite	
٠.٩٥٩	-٢٦.٠٩	١.١٣	١.٣٧	Blaney-Criddle	
٠.٩٧٦	-١٢.٣	٠.٦٩	٠.٧٣	Makkink	
٠.٩٥٣	-٤٤.٨٧	٢.١٧	٢.٢٦	Jensen-Haise	
٠.٨٢٦	١٠٤.٩٢	٥.٦٠	٦.٨٦	Ivanov	خ مشيط
٠.٧٨١	٦١.٥٩	٣.٢٣	٣.٨٥	Turc	
٠.٩٥٣	-٥١.٧	٤.٣٧	٥.٣٨	Thornthwaite	
٠.٩٦٤	-٥٠.٥	٣.٧٧	٤.٣٠	Blaney-Criddle	
٠.٩٥٧	-٦٨.٣	٥.٠٠	٥.٥٦	Makkink	
٠.٩٥٤	-٧٥.٠	٥.٥١	٦.١٤	Jensen-Haise	
٠.٩٨١	-٩.٦	١.٣٨	١.٨٦	Ivanov	
٠.٩٨٢	-٩.١	١.٤٠	١.٧٩	Turc	
٠.٩٥١	-٤٥.٧	٣.٤٩	٤.٣٧	Thornthwaite	تبوك
٠.٩٧١	-٤١.٩	٢.٥٨	٢.٨١	Blaney-Criddle	
٠.٩٦٢	-٦١.٤	٣.٨٠	٤.٠٩	Makkink	
٠.٩٥٣	-٧٧.٠	٤.٨٤	٥.٢٨	Jensen-Haise	
٠.١٦٤	٥٥.١	٣.٣٩	٣.٧٢	Ivanov	
٠.٣٢٨	٤٥.٧	٢.٤٤	٢.٨٨	Turc	

**تابع الجدول ٦ : نتائج الفحص الاحصائي لأداء نماذج تقدير التبخر- نتح الكامن
بالمحطات المدروسة خلال الفترة ١٩٨٥-٢٠١٥**

المحطة	النموذج	RMSE	MAE	PE	RC
جدة	Thornthwaite	٥.٠٢	٤.٨٩	-٦٥.٦	٠.٩٣٧
	Blaney-Criddle	٣.٤٤	٣.٣٦	-٤٦.٧	٠.٩٤٥
	Makkink	٤.٥٩	٤.٥٨	-٦٢.٨	٠.٩٤١
	Jensen-Haise	٥.٩٣	٥.٨٩	-٨٠.١	٠.٩٣٦
	Ivanov	١.٤٠	١.٢٧	-١٧.٥	٠.٩٦٤
	Turc	٠.٦٣	٠.٥٧	-٨.٠	٠.٩٨٤
الظهران	Thornthwaite	٦.٦٦	٥.٦٨	-٦٢.٢	٠.٩٥٠
	Blaney-Criddle	٤.٧٥	٤.٣٠	-٥١.٨	٠.٩٦٤
	Makkink	٥.٨٦	٥.٤٢	-٦٥.٨	٠.٩٥٩
	Jensen-Haise	٦.٩٥	٦.٣٥	-٧٥.٦	٠.٩٥٣
	Ivanov	٠.٦٧	٠.٥٩	-٦.٣	٠.٩٦٦
	Turc	١.٨٦	١.٥٢	-١٦.٦	٠.٩٨٦
القيصومة	Thornthwaite	١٠.٣٣	٨.٦٠	-٦٧.٣	٠.٩٥٣
	Blaney-Criddle	٨.٣٨	٧.٣٤	-٦٣.٦	٠.٩٦٤
	Makkink	٩.٥٤	٨.٥٠	-٧٤.٩	٠.٩٥٧
	Jensen-Haise	١١.٠٩	٩.٨٧	-٨٧.٠	٠.٩٥٤
	Ivanov	٠.٦١	٠.٥٥	-١.١	٠.٩٨١
	Turc	٣.٧٧	٣.٢٧	-٢٨.٤	٠.٩٨٢

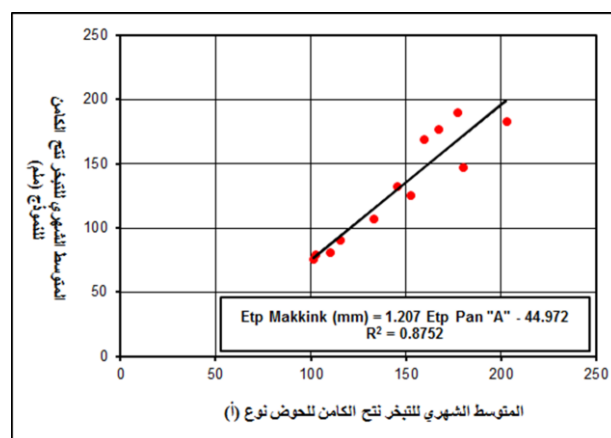
يتبيّن من خلال نتائج الفحص الاحصائي بمعدل الخطأ المطلق (MAE) وبجدر معدّل مربع الخطأ (RMSE) وبالنسبة المئوية للخطأ (PE) وبمعامل المصداقية (RC) ما يلي:
 ١- يعتبر تقدير نموذج بلاني-كريدل أقرب تقدير لقياس حوض التبخر نوع "أ" بمحيط مطار الملك خالد بالرياض بوسط المملكة وتبوك بشمال غربها، بحيث بلغت بها قيم RMSE و MAE و PE و RC على التوالي ٠.٨٥ و ٠.٦٦ و ١٢.٤ و ٠.٩٨٧ . بمحيط مطار الملك خالد بالرياض، أي أن متوسط التبخر- نتح الكامن الشهري لتقدير هذا النموذج يقل بنسبة لا تتعدي ١٢.٤ % عن قياس حوض التبخر وبمصداقية تصل إلى ٩٨.٧ % (الشكل ١٠ و ١١). أما بالنسبة لمحيط تبوك فإن قيم فحص RMSE و MAE و PE و RC بلغت على التوالي ٢.٨١ و ٢.٥٨ و ٤١.٩ و ٠.٩٧١ ، أي أن متوسط التبخر- نتح الكامن الشهري لتقدير هذا النموذج يقل بنسبة لا تتعدي ٤١.٩ % عن قياس حوض التبخر وبمصداقية تصل إلى ٩٧.١ %.



الشكل ١١ : علاقة الارتباط الخطى بين تقدير نموذج بلانى-كريدل للمتوسط الشهري للتبخر-نتح الكامن وقياس التبخر للحوض نوع "أ" خلال الفترة ٢٠١٥-١٩٨٥

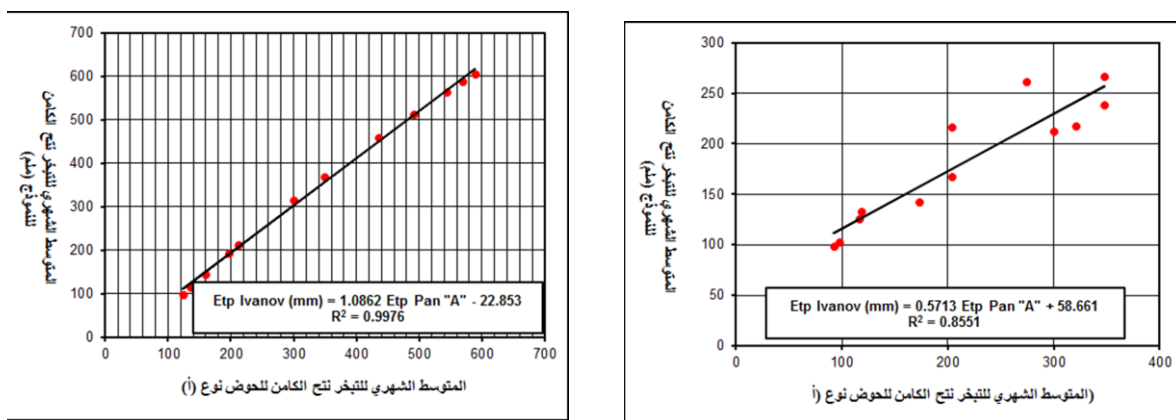
الشكل ١٠ : علاقة الارتباط الخطى بين تقدير نموذج بلانى-كريدل للمتوسط الشهري للتبخر-نتح الكامن وقياس التبخر للحوض نوع "أ" خلال الفترة ١٩٨٥-٢٠١٥

٢- يعتبر تقدير نموذج ماكينك أقرب تقدير لقياس حوض التبخر نوع "أ" بمحطة خميس مشيط بمرتفعات عسيرة بجنوب غربي المملكة، بحيث بلغت بها قيم MAE و RMSE و PE و RC على التوالي ٠.٧٣ و ٠.٦٩ و ١٢.٣ و ٠٩٧٦ ، أي أن متوسط التبخر- نتح الكامن الشهري لتقدير هذا النموذج يقل بنسبة لا تتعدي ١٢.٣ % عن قياس حوض التبخر وبصدقافية تصل إلى ٩٧.٦ % (الشكل ١٢).



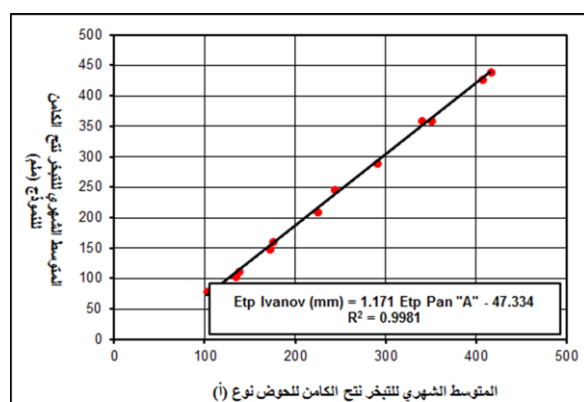
الشكل ١٢ : علاقة الارتباط الخطى بين تقدير نموذج إيفانوف للمتوسط الشهري للتبخر-نتح الكامن وقياس التبخر للحوض نوع "أ" خلال الفترة ٢٠١٥-١٩٨٥ بمحطة خميس مشيط

٣- يعتبر تقدير نموذج إيفانوف أقرب تقدير لقياس حوض التبخر نوع "أ" بمحطة حائل شمال وسط المملكة حسب فحص RMSE و MAE، بحيث بلغت قيمتا هذين الفحصين على التوالي ١.٨٦ و ١.٣٨ و نموذج تورك أقرب تقدير لقياس حوض التبخر نوع "أ" بهذه المحطة حسب فحص PE و RC، بحيث بلغت قيمتا هذين الفحصين على التوالي ٩.١ و ٩.٨٢ ، أي أن متوسط التبخر- نتج الكامن الشهري لتقدير هذا النموذج يقل بنسبة لا تتعدي ٩.١% عن قياس حوض التبخر وبمصداقية تصل إلى ٩٨.٢% (الشكل ١٣). كما يعتبر تقدير إيفانوف أقرب تقدير لقياس حوض التبخر نوع "أ" بمحطتي القيصومة والظهران بالساحل الشرقي حسب فحص RMSE و MAE و PE، حيث بلغت قيم هذه الفحوص على التوالي ٠.٦١ و ٠.٥٥ و ١.١- بالمحطة الأولى و ٠.٦٧ و ٠.٥٩ و ٠.٦٣- على التوالي أيضاً بالمحطة الثانية، أي أن الفرق بين القيم المحسوبة بهذا النموذج وقيم حوض التبخر لا تتعدي نسبة قدرها ١.١% بمحطة القيصومة و ٦.٣% بمحطة الظهران وبمصداقية تبلغ ٩٦.٦% و ٩٨.١% على التوالي بالمحطتين (الشكل ١٤ و الشكل ١٥).



الشكل ١٤ : علاقة الارتباط الخطى بين تقدير نموذج إيفانوف للمتوسط الشهري للتبخر- نتج الكامن وقياس التبخر للحوض نوع "أ" خلال الفترة ١٩٨٥-٢٠١٥ بمحطة القيصومة

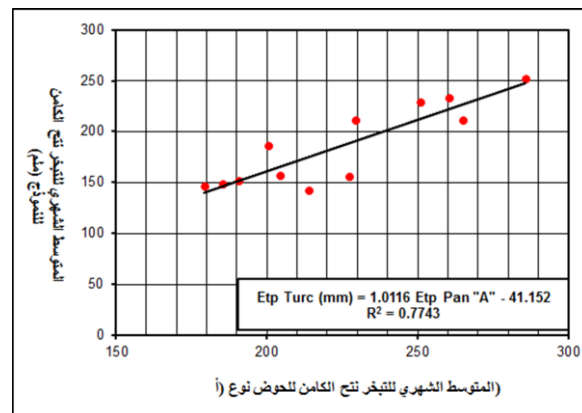
الشكل ١٣ : علاقة الارتباط الخطى بين تقدير نموذج إيفانوف للمتوسط الشهري للتبخر- نتج الكامن وقياس التبخر للحوض نوع "أ" خلال الفترة ١٩٨٥-٢٠١٥ بمحطة حائل



الشكل ١٥ : علاقة الارتباط الخطى بين تقدير نموذج إيفانوف للمتوسط الشهري للتبخر- نتج الكامن وقياس التبخر للحوض نوع "أ" خلال الفترة ١٩٨٥-٢٠١٥ بمحطة الظهران

تحليل معايرة التبخر نتح الكامن اليومي الكامن بواسطة قياسات حوض التبخر نوع (أ) بمناطق المملكة العربية السعودية
فهدة فلاح بن حشر

٤- يعتبر تقدير نموذج تورك أقرب تقدير لقياس حوض التبخر نوع "أ" بمحطة جدة بالساحل الغربي حسب فحوص RMSE و MAE و PE و RC، بحيث بلغت قيم هذه الفحوص على التوالي ٠.٦٣ و ٠.٥٧ و ٠.٩٤ و ٠.٨٠ ، أي أن الفرق بين تقدير التبخر- نتح الكامن بهذا النموذج وقياس حوض التبخر نوع "أ" لا يتعدى نسبة قدرها ٨٠٪ وبصدقافية تصل إلى ٤٩٪ (الشكل ١٦).



الشكل ١٦ : علاقة الارتباط الخطى بين تقدير نموذج بلانى- كريدل للمتوسط الشهري للتبخر- نتح الكامن وقياس التبخر للحوض نوع "أ" خلال الفترة ٢٠١٥-١٩٨٥ بمحطة جدة

الخلاصة

توصلت هذه الدراسة إلى جملة من النتائج أظهرت من خلالها التباينات المكانية والزمنية لقياس التبخر بواسطة حوض التبخر نوع "أ" من جهة وبواسطة تقديرات نماذج تورنثويت وبلانى-كريدل وماكينك وجنسن-هais ويفانوف وتورك من جهة ثانية. فعلى مستوى قياسات حوض التبخر نوع "أ" لوحظ أن محطة القصومة تتسم بأعلى كمية للتبخر بما يعادل ٤١٠.٢.١ ملم/سنة ومطرة مطار الملك خالد بالرياض بأدنى كمية للتبخر بما يعادل ١٦٤٣.٥ ملم/سنة، أي بفارق قدره ٥٩.٥٪ بين المحطتين. كما يتسم فصل الصيف بأعلى كمية للتبخر- نتح الكامن مع تباينها من محطة لأخرى، بحيث تصل إلى أقصاها بما يعادل ١٧٠٢.٥ ملم بمحطة القصومة وأدنها بما يعادل ٥٤٦.٤ ملم بمحطة خميس مشيط، أي بفارق قدره ٦٧.٩٪ بين المحطتين. في حين يتميز فصل الشتاء بأدنى كمية للتبخر- نتح الكامن مع تباينها من محطة لأخرى، بحيث تتراوح بين ١٩٩.٥ ملم بمطرة مطار الملك خالد بالرياض و ٥٥٥.٠ ملم بمحطة جدة، أي بفارق قدره ٦٤.٠٪ بين المحطتين. أما على مستوى نتائج تقدير النماذج المدروسة فقد تبين أن :

- ١- تقدير التبخر- نتح الكامن لجميع النماذج يقل عن قياس حوض التبخر نوع "أ" بنساب تبلغ ٧٧.٦٪ وبين ١٥.٧٪ بالنسبة لنموذج إيفانوف وبين ٧٩.٩٪ و ٧٧.٨٪ و ٧٧.١٪ بالنسبة لنموذج جنسن-هais بمحطات جدة و حائل والظهaran على التوالي.

- ٢- تقدير التبخر- نتح الكامن لنموذج تورنثوايت وبلاسي- كريدل و ماكينك و جنسن يقل عن قياس حوض التبخر نوع "أ" بمحطة الرياض بنسن تراوح بين ٤١.٤% بالسبة لنموذج بلاسي- كريدل و ٦٩.١% بالسبة لنموذج جنسن-هليس، في حين يزيد تقدير نموذجي تورك و إيفانوف عن قياس حوض التبخر نوع "أ" بنسبة تراوح بين ٨٤.٠% و ١٧٠.٩% على التوالي.
- ٣- تقدير التبخر- نتح الكامن لنموذج تورنثوايت وبلاسي- كريدل و ماكينك و جنسن وتورك يقل عن قياس حوض التبخر نوع "أ" بمحطة القصومة بنسن تراوح بين ٢٩.٢% بالسبة لنموذج تورك و ٧٦.٨% بالسبة لنموذج تورنثوايت، في حين يزيد تقدير نموذج إيفانوف عن قياس حوض التبخر نوع "أ" بنسبة لا تتعدي ١٠.٩%.
- ٤- تقدير التبخر- نتح الكامن لنموذج تورنثوايت وبلاسي- كريدل و ماكينك و جنسن يقل عن قياس حوض التبخر نوع "أ" بمحطة خميس مشيط بنسن تراوح بين ١٠.٥% بالسبة لنموذج ماكينك و ٤٥.٣% بالسبة لنموذج جنسن-هليس، في حين يزيد تقدير نموذجي تورك و إيفانوف عن قياس حوض التبخر نوع "أ" بنسبة تراوح بين ٦٧.٨% و ١١٧.٥% على التوالي.
- ٥- تقدير التبخر- نتح الكامن لنموذج تورنثوايت وبلاسي- كريدل و ماكينك و جنسن يقل عن قياس حوض التبخر نوع "أ" بمحطة تبوك بنسن تراوح بين ٤١.٨% بالسبة لنموذج بلاسي- كريدل و ٧٨.٥% بالسبة لنموذج جنسن-هليس، في حين يزيد تقدير نموذجي تورك و إيفانوف عن قياس حوض التبخر نوع "أ" بنسبة تراوح بين ١٩.٤% و ٥٤.٩% على التوالي.

ويستنتج من ما تقدم أن نموذج حسن-هليس أعطى أقل التقديرات، في حين أعطى نموذج إيفانوف أعلى التقديرات وأقربها لقياس حوض التبخر نوع "أ" بجميع المحطات.
ولقد أظهرت نتائج الفحص الاحصائي RMSE و MAE و PE و RC لأداء نماذج التقدير المدرسة أن تقدير نموذج بلاسي-كريدل بمحطتي مطار الملك خالد وتبوك وتقدير نموذج ماكينك بمحطة خميس مشيط وتقدير نموذج إيفانوف بمحطات حائل والقصومة والظهران وتقدير تورك بمحطة جدة هي الأقرب لقياس حوض التبخر نوع "أ" بهذه المحطات.

Abstract

Comparative Analysis of Calibration of Daily Potential Evapotranspiration using Class “A” Pan Evaporation in Saudi Arabia By Fahda Falah

This study evaluated the calibration of the Thornthwaite, Blaney-Criddle, Makkink, Jensen-Haise, Ivanov and Turc potential evapotranspiration models by actual evaporation of the Class “A” Pan of four climatic stations, Tabuk station in the Northwest, King Khaled airport station in Riyadh, Qaissoomah and Hail in Central, Khamis Mushayt station in the South-West , Jeddah in the Western coast and Dahran in the Eastern coast of Saudi Arabia.

The results of this study showed some spatial variations of Class A Pan evaporation between the studied stations and in between the models estimation in the same station in different seasons. In order to distinguish between the estimations of these models, four statistical tests were applied ; the Mean Absolute Error (MAE), Root Mean Square Error (RMSE), the Percentage Error (PE) and the Reliability Coefficient (RC).

The Blaney-Criddle model fits the climatic records of the King Khalid Airport in Riyadh and Tabuk. The Makkink model at Khamis Mushayt climatic station , the Turc model at Jeddah climatic station , the Ivanov model at Qaissoomah and Dahran and the Ivanov with Turc in Hail are the best models for estimating the monthly average of evapotranspiration.

Key-Words :

Potential Evapotranspiration, Class “A” Pan, Thornthwaite model, Blaney-Criddle model, Makkink model, Jensen-Haise model, Ivanov model, Turc model, Saudi Arabia.

المراجع

أ- المراجع العربية

- ١- الجراش، محمد عبد الله (١٩٩٢) : أنموذج لتقدير المتوسط الشهري لكمية التبخر في المملكة العربية السعودية مقارنة بأنموذجي Penman و Ivanov ، مجلة جامعة الملك عبد العزيز، الآداب والعلوم الإنسانية، مجلد (٥) : ٧٥-١٠١ .
- ٢- الطاهر، عبد الله أحمد سعد (١٩٩٨) : تقدير التبخر الشهري في المملكة العربية السعودية، سلسلة رسائل جغرافية، العدد ٢١٣ ، الجمعية الجغرافية الكويتية، جامعة الكويت.
- ٣- الغشيان، هيفاء عبد الله حسن (١٩٩٠) : التبخر والميزانة المائية في المملكة العربية السعودية، رسالة ما جستير غير منشورة، قسم الجغرافيا، كلية الآداب، جامعة الملك سعود، الرياض.
- ٤- بوروبه، محمد فضيل (٢٠٠٧) : معايرة قيم نماذج حساب التبخر- نتح بواسطة حوض التبخر نوع "A" بمنطقة عسير في المملكة العربية السعودية، مجلة دراسات الخليج والجزيرة العربية، العدد ١٣٤ ، مجلس النشر العلمي، جامعة الكويت، ص ١٢٧-٢٠٠ .
- ٥- الشلش، علي حسن (١٩٧٦) : القيمة الفعلية للأمطار وأثرها في تحديد الأقاليم النباتية في العراق، مجلة كلية الآداب، العدد ١، جامعة البصرة.

- ٦- الشلش، علي حسن (١٩٧٩) : التباين المكاني للتوازن المائي وعلاقته بالإنتاج الزراعي في العراق، مجلة الخليج العربي، مركز دراسات الخليج العربي بجامعة البصرة، المجلد (١١)، العدد ١، جامعة البصرة.
- ٧- القصاب، نافع ناصر (١٩٨٥) : أقاليم الزراعة المطيرية لمحصول الحنطة والشعير في العراق في ظل المعايير المناخية، مجلة الجمعية الجغرافية العراقية، المجلد (١٦)، جامعة بغداد.
- ٨- البياتي، عدنان هزاع (١٩٨٥) : مناخ محافظات العراق الحدودية الشرقية، رسالة ماجستير غير منشورة، كلية الآداب، جامعة بغداد، العراق.
- ٩- الجبوري، رجاء خليل أحمد (٢٠٠٢) : الموازنة المائية المناخية للمنطقة المتموجة في العراق : دراسة في المناخ التطبيقي، رسالة ماجستير غير منشورة، كلية التربية للبنات، جامعة بغداد، العراق.
- ١٠- كنجو، علي ؛ إبراهيم، جهاد ؛ زينة، ربيع ؛ حسون، نيفين (٢٠١٦) : دراسة إمكانية استخدام طريقة الحوض نوع "I" وبعض الصيغ المبسطة في تقدير التبخر- نتح الكامن في منطقة الازفية، مجلة جامعة تشرين للبحوث والدراسات العلمية، سلسلة العلوم البيولوجية، العدد (٦) : ٢٣١-٢١٥.
- ١١- زيتون، محمد (٢٠١٦) : تحليل الموازنة المائية للترابة في شمال الأردن للفترة ١٩٧٠-٢٠٠٩، مجلة أبحاث العلوم الطبيعية، المجلد (٣٠) : ٢٣٢-٢٠٥.
- ١٢- السنمي، محمد عوض السيد (٢٠١٣) : الموازنة المائية وتوزيع الأراضي الزراعية بناءً على جزيرة سيناء : دراسة في جغرافية المناخ التطبيقي، مجلة الإنسانيات، العدد (٤١) : ٥٥٢-٥٠٧.
- ١٣- جاسم، وليد أسمر ؛ حمدون، هاني محمد (٢٠١٤) : مقارنة بين نموذجي Penman-Monteith وحوض التبخر في تخمين التبخر- نتح المرجعي في مناطق مختلفة من العراق، المجلد (٧)، العدد ١ : ٥٢-٤٣.
- ١٤- الموسوي، صالح عاتي؛ كتاب، عماد راتب (٢٠١٦) : أثر المناخ في تقدير الاحتياجات المائية لمشروع الجريووية في محافظة بابل، مجلة القادسية للعلوم الإنسانية، المجلد (١٩)، العدد ٢ : ٢١٣-١٧٧.
- ١٥- بن حشر، فهدة بنت فلاح فيصل (٢٠٠٧) : خصائص الأمطار والتبخر وتطبيقاتها على الميزانية المائية والقيمة الفعلية للأمطار في شمالي المملكة العربية السعودية: دراسة في المناخ التطبيقي، رسالة دكتوراه غير منشورة، قسم الجغرافيا، كلية التربية (الاقسام الأدبية) باليمن.

بـ- المراجع الأجنبية

- ١- Al Saaran, N. (١٩٩٩) : Temporal and spatial variability of potential evapotranspiration in Saudi Arabia, *Journal of the Gulf and Arabian Peninsula Studies*, Vol. XXIV, no. ٩٢ : ٢٢٩-٢٤٥.
- ٢- Blaney, H.F. and Criddle, W.D. (١٩٥٠) : Determining water requirement in irrigation areas from climatological and irrigation data , Soil Conservation Service, U.S. Department of Agriculture , Technical Paper ٩٦, February, ٤٨ pages.
- ٣- Diouf, O.C. ; Weinhermüller, L. ; Ba, K. ; Faye, S.C. ; Faye, S. and Vereecken, H. (٢٠١٦) : Estimation of Turc reference evapotranspiration with limited data against the Penman-Momteith formula in Senegal, *Journal of Agriculture and Environment for International Development (JAEID)* ١١٠ (١) : ١١٧-١٣٧.
- ٤- Garcia, J. and Lopez, J. (١٩٧٠) : Formula for evaporation calculation adapted to Tropical zone, *Agronomia Tropical* (٢٠) , ٥ : ٣٣٥-٣٤٥.
- ٥- Hargreaves, G.H. and Samni, Z.A. (١٩٨٢) : Estimation of potential evapotranspiration , *Journal of Irrigation and Drainage Division, Proceedings of the American Society Civil Engineers* (١٠٨) : ٢٢٣-٢٣٠.
- ٦- Holdridge, L.R. (١٩٥٩) : Simple method for determining potential evapotranspiration from temperature data, *Science* (١٣٠) , ٣٣٧٥ : ٥٧٢.
- ٧- Ivanov, N.N. (١٩٥٤) : Estimation of the amount of evaporation ability, *P. All-Union Geogr. Society* (٨٦) : ١٨٩-١٩٥.
- ٨- Jensen, M.E. and Haise, H.R. (١٩٧٣) : Estimation of evapotranspiration from solar radiation , *Journal of Irrigation and Drainage Division, Proceedings of the American Society Civil Engineers* (٨٩) : ١٥-٤١.
- ٩- Musy, A. (٢٠٠٤) : Cours d'Hydrologie et de Climatologie, Chapitre ٤, <http://hydram.epfl.ch/e-drologie>.

**تحليل معايرة التبخر نتح الكامن اليومي الكامن بواسطة قياسات حوض
التبخر نوع (أ) بمناطق المملكة العربية السعودية**

- ١٠- Penman, H.L. (١٩٥٤) : Evaporation on irrigation sugar beet, *Netherland Journal of Agriculture Sciences* ٤(٣): ٢٨٦-٢٩٢.
- ١١- Sorman, A.U. and Abdulrazzak, M.J. (١٩٩٥) : Estimation of actual evaporation using precipitation and soil moisture records in arid climates , *Hydrological Processes Journal*, Vol. (٩) : ٧٢٩-٧٤١.
- ١٢- Turc, L. (١٩٦١) : Evaluation des besoins en eau d'irrigation, évapotranspiration potentielle, *Annales Agronomiques* ١٢ (١) : ١٣-٥٠.
- ١٣- Thornthwaite, C.W. (١٩٤٨) : An Approach toward a Rational Classification of Climate, *Geographical Review*, Vol. ٣٨, pp. ٥٥-٩٤.